

CAPÍTULO 33

1. Como $\Delta\lambda \ll \lambda$ e $f = c/\lambda$, temos

$$\Delta f = \left| \Delta \left(\frac{c}{\lambda} \right) \right| \approx \frac{c \Delta \lambda}{\lambda^2} = \frac{(3,0 \times 10^8 \text{ m/s})(0,0100 \times 10^{-9} \text{ m})}{(632,8 \times 10^{-9} \text{ m})^2} = 7,49 \times 10^9 \text{ Hz} = 7,49 \text{ GHz}.$$

2. (a) A frequência da radiação é

$$f = \frac{c}{\lambda} = \frac{3,0 \times 10^8 \text{ m/s}}{(1,0 \times 10^5)(6,4 \times 10^6 \text{ m})} = 4,7 \times 10^{-3} \text{ Hz}.$$

(b) O período da radiação é

$$T = \frac{1}{f} = \frac{1}{4,7 \times 10^{-3} \text{ Hz}} = 212 \text{ s} = 3 \text{ min } 32 \text{ s}.$$

3. (a) De acordo com a Fig. 33-2, o menor comprimento de onda para o qual a sensibilidade do olho humano é metade da sensibilidade máxima é 515 nm.

(b) De acordo com a Fig. 33-2, o maior comprimento de onda para o qual a sensibilidade do olho humano é metade da sensibilidade máxima é 610 nm.

(c) De acordo com a Fig. 33-2, o comprimento de onda da luz à qual o olho humano é mais sensível é 555 nm.

(d) De acordo com o resultado do item (c),

$$f = \frac{c}{\lambda} = \frac{3,00 \times 10^8 \text{ m/s}}{555 \text{ nm}} = 5,41 \times 10^{14} \text{ Hz}.$$

(e) De acordo com o resultado do item (d),

$$T = \frac{1}{f} = \frac{1}{5,41 \times 10^{14} \text{ Hz}} = 1,85 \times 10^{-15} \text{ s}.$$

4. Como a velocidade da luz no ar é aproximadamente $c = 3,0 \times 10^8 \text{ m/s}$, em um intervalo de tempo $t = 1,0 \text{ ns}$, a luz percorre uma distância

$$d = ct = (3,0 \times 10^8 \text{ m/s})(1,0 \times 10^{-9} \text{ s}) = 0,30 \text{ m}.$$

5. **PENSE** A frequência das oscilações da corrente no circuito LC do gerador é $f = 1/2\pi\sqrt{LC}$, em que C é a capacitância e L é a indutância. As ondas eletromagnéticas geradas pelo dispositivo têm a mesma frequência.

FORMULE Se f é a frequência e λ é o comprimento de onda de uma onda eletromagnética, $f\lambda = c$. Assim,

$$\frac{\lambda}{2\pi\sqrt{LC}} = c.$$

ANALISE Explicitando L na equação anterior e substituindo os valores conhecidos, obtemos

$$L = \frac{\lambda^2}{4\pi^2 C c^2} = \frac{(550 \times 10^{-9} \text{ m})^2}{4\pi^2 (17 \times 10^{-12} \text{ F})(2,998 \times 10^8 \text{ m/s})^2} = 5,00 \times 10^{-21} \text{ H}.$$

Este valor de indutância é extremamente pequeno.

2 MATERIAL SUPLEMENTAR PARA ACOMPANHAR

APRENDA A frequência das ondas é

$$f = \frac{c}{\lambda} = \frac{3,0 \times 10^8 \text{ m/s}}{550 \times 10^{-9} \text{ m}} = 5,45 \times 10^{14} \text{ Hz}.$$

Esta frequência está na faixa da luz visível.

6. O comprimento de onda pedido é

$$\lambda = \frac{c}{f} = 2\pi c \sqrt{LC} = 2\pi(2,998 \times 10^8 \text{ m/s}) \sqrt{(0,253 \times 10^{-6} \text{ H})(25,0 \times 10^{-12} \text{ F})} = 4,74 \text{ m}.$$

7. A intensidade é a média do vetor de Poynting:

$$I = S_{\text{méd}} = \frac{cB_m^2}{2\mu_0} = \frac{(3,0 \times 10^8 \text{ m/s})(1,0 \times 10^{-4} \text{ T})^2}{2(1,26 \times 10^{-6} \text{ H/m})} = 1,2 \times 10^6 \text{ W/m}^2.$$

8. A intensidade do sinal ao chegar às vizinhanças de Próxima do Centauro é

$$I = \frac{P}{4\pi r^2} = \frac{1,0 \times 10^6 \text{ W}}{4\pi \left[(4,3 \text{ anos-luz})(9,46 \times 10^{15} \text{ m/ano-luz}) \right]^2} = 4,8 \times 10^{-29} \text{ W/m}^2.$$

9. Se P é a potência e Δt é a duração do pulso, a energia contida no pulso é

$$E = P\Delta t = (100 \times 10^{12} \text{ W})(1,0 \times 10^{-9} \text{ s}) = 1,0 \times 10^5 \text{ J}.$$

10. A amplitude do campo magnético da onda é

$$B_m = \frac{E_m}{c} = \frac{3,20 \times 10^{-4} \text{ V/m}}{2,998 \times 10^8 \text{ m/s}} = 1,07 \times 10^{-12} \text{ T}.$$

11. (a) A amplitude do campo magnético é

$$B_m = \frac{E_m}{c} = \frac{2,0 \text{ V/m}}{2,998 \times 10^8 \text{ m/s}} = 6,67 \times 10^{-9} \text{ T} \approx 6,7 \times 10^{-9} \text{ T}.$$

(b) Como o campo elétrico oscila paralelamente ao eixo z e a onda se propaga paralelamente ao eixo x , o campo magnético oscila paralelamente ao eixo y .

(c) A direção e o sentido de propagação de uma onda eletromagnética são determinados pelo produto $\vec{E} \times \vec{B}$. De acordo com a regra da mão direita, se o campo elétrico está apontando no sentido positivo do eixo z e a onda está se propagando no sentido positivo do eixo x , o campo magnético deve estar apontando no sentido negativo do eixo y .

12. (a) O valor máximo do campo magnético da onda é

$$B_m = \frac{E_m}{c} = \frac{5,00 \text{ V/m}}{2,998 \times 10^8 \text{ m/s}} = 1,67 \times 10^{-8} \text{ T} = 16,7 \text{ nT}.$$

(b) A intensidade é a média do vetor de Poynting:

$$\begin{aligned} I = S_{\text{méd}} &= \frac{E_m^2}{2\mu_0 c} = \frac{(5,00 \text{ V/m})^2}{2(4\pi \times 10^{-7} \text{ T} \cdot \text{m/A})(2,998 \times 10^8 \text{ m/s})} \\ &= 3,31 \times 10^{-2} \text{ W/m}^2 = 33,1 \text{ mW/m}^2. \end{aligned}$$

13. (a) Podemos usar a relação $I = E_m^2/2\mu_0 c$ para calcular E_m :

$$\begin{aligned} E_m &= \sqrt{2\mu_0 I c} = \sqrt{2(4\pi \times 10^{-7} \text{ T} \cdot \text{m/A})(1,40 \times 10^3 \text{ W/m}^2)(2,998 \times 10^8 \text{ m/s})} \\ &= 1,03 \times 10^3 \text{ V/m} = 1,03 \text{ kV/m}. \end{aligned}$$

(b) A amplitude do campo magnético é, portanto,

$$B_m = \frac{E_m}{c} = \frac{1,03 \times 10^4 \text{ V/m}}{2,998 \times 10^8 \text{ m/s}} = 3,43 \times 10^{-6} \text{ T} = 3,43 \text{ } \mu\text{T}.$$

14. De acordo com a equação que precede a Eq. 33-12, o valor máximo de $\partial B/\partial t$ é ωB_m . O valor de B_m , por sua vez, pode ser relacionado à intensidade através da equação

$$B_m = \frac{E_m}{c} = \frac{\sqrt{2c\mu_0 I}}{c},$$

e a intensidade pode ser relacionada à potência P e à distância r através da Eq. 33-27. Finalmente, a frequência angular ω pode ser relacionada ao comprimento de onda λ através da equação $\omega = kc = 2\pi c/\lambda$. Assim, temos

$$\left(\frac{\partial B}{\partial t}\right)_{\text{máx}} = \sqrt{\frac{2\mu_0 P}{4\pi c}} \frac{2\pi c}{\lambda r} = 3,44 \times 10^6 \text{ T/s}.$$

15. (a) Como a intensidade de uma onda eletromagnética está relacionada à amplitude do campo elétrico através da equação $I = E_m^2/2\mu_0 c$, temos

$$\begin{aligned} E_m &= \sqrt{2\mu_0 c I} = \sqrt{2(4\pi \times 10^{-7} \text{ H/m})(2,998 \times 10^8 \text{ m/s})(10 \times 10^{-6} \text{ W/m}^2)} \\ &= 8,7 \times 10^{-2} \text{ V/m} = 87 \text{ mV/m}. \end{aligned}$$

(b) A amplitude do campo magnético é dada por

$$B_m = \frac{E_m}{c} = \frac{8,7 \times 10^{-2} \text{ V/m}}{2,998 \times 10^8 \text{ m/s}} = 2,9 \times 10^{-10} \text{ T} = 0,29 \text{ nT}.$$

(c) Como, a uma distância r do transmissor, a intensidade de um transmissor que irradia uniformemente ao longo de um hemisfério é $I = P/2\pi r^2$, temos

$$P = 2\pi r^2 I = 2\pi (10 \times 10^3 \text{ m})^2 (10 \times 10^{-6} \text{ W/m}^2) = 6,3 \times 10^3 \text{ W} = 6,3 \text{ kW}.$$

16. (a) A potência recebida é

$$P_r = (1,0 \times 10^{-12} \text{ W}) \frac{\pi (300 \text{ m})^2 / 4}{4\pi (6,37 \times 10^6 \text{ m})^2} = 1,4 \times 10^{-22} \text{ W}.$$

(b) A potência da fonte teria que ser

$$\begin{aligned} P &= 4\pi r^2 I = 4\pi \left[(2,2 \times 10^4 \text{ anos-luz}) (9,46 \times 10^{15} \text{ m/ano-luz}) \right]^2 \left[\frac{1,0 \times 10^{-12} \text{ W}}{4\pi (6,37 \times 10^6 \text{ m})^2} \right] \\ &= 1,1 \times 10^{15} \text{ W}. \end{aligned}$$

17. (a) O valor máximo do campo magnético da onda é

$$B_m = \frac{E_m}{c} = \frac{2,0 \text{ V/m}}{2,998 \times 10^8 \text{ m/s}} = 6,7 \times 10^{-9} \text{ T} = 6,7 \text{ nT}.$$

4 MATERIAL SUPLEMENTAR PARA ACOMPANHAR

(b) A intensidade média da luz é

$$I = \frac{E_m^2}{2\mu_0 c} = \frac{(2,0 \text{ V/m})^2}{2(4\pi \times 10^{-7} \text{ T} \cdot \text{m/A})(2,998 \times 10^8 \text{ m/s})} = 5,3 \times 10^{-3} \text{ W/m}^2 = 5,3 \text{ mW/m}^2.$$

(c) A potência da fonte é

$$P = 4\pi r^2 I_{\text{méd}} = 4\pi (10 \text{ m})^2 (5,3 \times 10^{-3} \text{ W/m}^2) = 6,7 \text{ W}.$$

18. De acordo com a Eq. 33-27, a inclinação de um gráfico da intensidade de uma onda eletromagnética em função do inverso do quadrado da distância (I em função de r^{-2}) é $P/4\pi$. Como a inclinação do gráfico da Fig. 33-37 é $(200 \text{ W/m}^2)/(10 \text{ m}^{-2}) = 20 \text{ W}$, a potência é $P = 4\pi (20) \approx 0,25 \times 10^2 \text{ W} = 0,25 \text{ kW}$.

19. PENSE Se o plasma se comporta como um meio perfeitamente refletor, a pressão de radiação é dada por $p_r = 2I/c$, em que I é a intensidade da radiação.

FORMULE A intensidade é $I = P/A$, em que P é a potência e A é a área interceptada pela radiação.

ANALISE A pressão de radiação é

$$p_r = \frac{2I}{c} = \frac{2P}{Ac} = \frac{2(1,5 \times 10^9 \text{ W})}{(1,00 \times 10^{-6} \text{ m}^2)(2,998 \times 10^8 \text{ m/s})} = 1,0 \times 10^7 \text{ Pa}.$$

APRENDA No caso de absorção total, a pressão de radiação é $p_r = I/c$, ou seja, metade do valor observado quando existe reflexão total.

20. (a) A força exercida pela radiação é

$$F_{\text{rad}} = p_{\text{rad}}(\pi R_T^2) = \left(\frac{I}{c}\right)(\pi R_T^2) = \frac{\pi(1,4 \times 10^3 \text{ W/m}^2)(6,37 \times 10^6 \text{ m})^2}{2,998 \times 10^8 \text{ m/s}} = 6,0 \times 10^8 \text{ N}.$$

(b) A atração gravitacional do Sol é

$$F_g = \frac{GM_s M_T}{d_{TS}^2} = \frac{(6,67 \times 10^{-11} \text{ N} \cdot \text{m}^2/\text{kg}^2)(2,0 \times 10^{30} \text{ kg})(5,98 \times 10^{24} \text{ kg})}{(1,5 \times 10^{11} \text{ m})^2} \\ = 3,6 \times 10^{22} \text{ N},$$

que é muito maior que F_{rad} .

21. Como a superfície é perfeitamente absorvente, a pressão da radiação é dada por $p_r = I/c$, em que I é a intensidade. Como a lâmpada irradia uniformemente em todas as direções, a intensidade a uma distância r da lâmpada é dada por $I = P/4\pi r^2$, em que P é a potência da lâmpada. Assim,

$$p_r = \frac{P}{4\pi r^2 c} = \frac{500 \text{ W}}{4\pi (1,5 \text{ m})^2 (2,998 \times 10^8 \text{ m/s})} = 5,9 \times 10^{-8} \text{ Pa}.$$

22. A pressão da radiação é

$$p_r = \frac{I}{c} = \frac{10 \text{ W/m}^2}{2,998 \times 10^8 \text{ m/s}} = 3,3 \times 10^{-8} \text{ Pa}.$$

23. (a) A força para cima exercida pela radiação, F_r , dada pela Eq. 33-32, $F = IA/c$, deve ser igual, em módulo, à força para baixo exercida pela gravidade, $F_g = mg$. No caso de uma esfera, a área da “seção de choque” (que é o parâmetro A da Eq. 33-32) é a área de um círculo, $A = \pi r^2$ (e não a área da superfície da esfera), e o volume (cujo valor é necessário para que a massa possa ser de-

terminada através da relação $m = \rho V$ é dado por $V = 4\pi r^3/3$. Finalmente, a intensidade I está relacionada à potência P da fonte luminosa através da Eq. 33-27, $I = P/4\pi R^2$, em que R é a distância da fonte. Fazendo $F_r = F_g$ e explicitando P , obtemos

$$\begin{aligned} P &= 4\pi R^2 c \left(\rho \frac{4\pi r^3 g}{3} \right) \frac{1}{\pi r^2} = \frac{16\pi R^2 c \rho r g}{3} \\ &= \frac{16\pi (0,5 \text{ m})^2 (2,998 \times 10^8 \text{ m/s}) (1,9 \times 10^4 \text{ kg/m}^3) (2,0 \times 10^{-3}) (9,8 \text{ m/s}^2)}{3} \\ &= 4,68 \times 10^{11} \text{ W}. \end{aligned}$$

(b) Qualquer pequena perturbação tiraria a esfera da posição de equilíbrio, pois, nesse caso, as duas forças deixariam de atuar ao longo do mesmo eixo.

24. Fazendo $F_g = F_r$, obtemos

$$G \frac{mM_s}{d_{TS}^2} = \frac{2IA}{c},$$

o que nos dá

$$\begin{aligned} A &= \frac{cGmM_s}{2Id_{TS}^2} = \frac{(6,67 \times 10^{-11} \text{ N} \cdot \text{m}^2/\text{kg}^2)(1500 \text{ kg})(1,99 \times 10^{30} \text{ kg})(2,998 \times 10^8 \text{ m/s})}{2(1,40 \times 10^3 \text{ W/m}^2)(1,50 \times 10^{11} \text{ m})^2} \\ &= 9,5 \times 10^5 \text{ m}^2 = 0,95 \text{ km}^2. \end{aligned}$$

25. **PENSE** Este problema envolve a relação entre a pressão de radiação e a densidade de energia do feixe incidente.

FORMULE Seja f a fração da intensidade do feixe incidente que é refletida. A fração absorvida é $1 - f$. A parte refletida exerce uma pressão de radiação

$$p_r = \frac{2fI_0}{c},$$

e a parte absorvida exerce uma pressão de radiação

$$p_a = \frac{(1-f)I_0}{c},$$

em que I_0 é a intensidade incidente. O fator 2 aparece na primeira expressão porque o momento da parte refletida muda de sentido. A pressão de radiação total é a soma das duas contribuições:

$$p_{\text{total}} = p_r + p_a = \frac{2fI_0 + (1-f)I_0}{c} = \frac{(1+f)I_0}{c}.$$

ANALISE Para relacionar a intensidade à densidade de energia, considere um tubo de comprimento ℓ e área da seção reta A , cujo eixo coincide com a direção de propagação de uma onda eletromagnética. A energia eletromagnética contida no interior do tubo é $U = uA\ell$, em que u é a densidade de energia. Como toda essa energia passa pela extremidade do tubo em um intervalo de tempo $t = \ell/c$, a intensidade é

$$I = \frac{U}{At} = \frac{uA\ell c}{A\ell} = uc,$$

o que nos dá $u = I/c$. A intensidade e a densidade de energia são positivas, qualquer que seja a direção de propagação. No caso de uma onda parcialmente refletida e parcialmente absorvida, a intensidade perto da superfície é

$$I = I_0 + fI_0 = (1+f)I_0,$$

em que o primeiro termo está associado ao feixe incidente, e o segundo está associado ao feixe refletido. Em consequência, a densidade de energia é

$$u = \frac{I}{c} = \frac{(1+f)I_0}{c},$$

ou seja, tem o mesmo valor que a pressão de radiação.

APRENDA No caso de reflexão total, $f=1$ e $p_{\text{total}} = p_r = 2I_0/c$. Por outro lado, a densidade de energia é $u = I/c = 2I_0/c$, que é a mesma expressão encontrada para p_{total} . No caso de absorção total, $f=0$, $p_{\text{total}} = p_a = I_0/c$, e, como $I = I_0$, temos $u = I/c = I_0/c$, que, novamente, é a mesma expressão encontrada para p_{total} .

26. A massa do cilindro é $m = \rho(\pi D^2/4)H$, em que D é o diâmetro do cilindro. Como o cilindro está em equilíbrio,

$$F_{\text{tot}} = mg - F_r = \frac{\pi H D^2 g \rho}{4} - \left(\frac{\pi D^2}{4} \right) \left(\frac{2I}{c} \right) = 0,$$

o que nos dá

$$\begin{aligned} H &= \frac{2I}{gc\rho} = \left(\frac{2P}{\pi D^2/4} \right) \frac{1}{gc\rho} \\ &= \frac{2(4,60 \text{ W})}{[\pi(2,60 \times 10^{-3} \text{ m})^2/4](9,8 \text{ m/s}^2)(3,0 \times 10^8 \text{ m/s})(1,20 \times 10^3 \text{ kg/m}^3)} \\ &= 4,91 \times 10^{-7} \text{ m}. \end{aligned}$$

27. PENSE As ondas eletromagnéticas se propagam à velocidade da luz e transportam momento e energia.

FORMULE A velocidade de uma onda eletromagnética é $c = \lambda f$, em que λ é o comprimento de onda e f é a frequência da onda. A frequência angular é $\omega = 2\pi f$ e o número de onda é $k = 2\pi/\lambda$. A amplitude B_m do campo magnético está relacionada à amplitude E_m do campo elétrico pela equação $B_m = E_m/c$. A intensidade da onda é dada pela Eq. 33-26:

$$I = \frac{1}{c\mu_0} E_{\text{rms}}^2 = \frac{1}{2c\mu_0} E_m^2.$$

ANALISE (a) Para $\lambda = 3,0 \text{ m}$, a frequência da onda é

$$f = \frac{c}{\lambda} = \frac{2,998 \times 10^8 \text{ m/s}}{3,0 \text{ m}} = 1,0 \times 10^8 \text{ Hz}.$$

(b) A frequência angular pode ser calculada a partir do valor de f obtido no item (a):

$$\omega = 2\pi f = 2\pi(1,0 \times 10^8 \text{ Hz}) = 6,3 \times 10^8 \text{ rad/s}.$$

(c) O número de onda correspondente é

$$k = \frac{2\pi}{\lambda} = \frac{2\pi}{3,0 \text{ m}} = 2,1 \text{ rad/m}.$$

(d) Se $E_m = 300 \text{ V/m}$, a amplitude do campo magnético é

$$B_m = \frac{E_m}{c} = \frac{300 \text{ V/m}}{2,998 \times 10^8 \text{ m/s}} = 1,0 \times 10^{-6} \text{ T}.$$

(e) Se \vec{E} aponta no sentido do semieixo y positivo, \vec{B} deve apontar no sentido do semieixo z positivo para que o produto vetorial $\vec{E} \times \vec{B}$ aponte no sentido do semieixo x positivo (a direção de propagação).

(f) A intensidade da onda é

$$I = \frac{E_m^2}{2\mu_0 c} = \frac{(300 \text{ V/m})^2}{2(4\pi \times 10^{-7} \text{ H/m})(2,998 \times 10^8 \text{ m/s})} = 119 \text{ W/m}^2 \approx 1,2 \times 10^2 \text{ W/m}^2.$$

(g) Como a placa absorve totalmente a onda, a taxa de variação do momento por unidade de área é I/c ; portanto,

$$\frac{dp}{dt} = \frac{IA}{c} = \frac{(119 \text{ W/m}^2)(2,0 \text{ m}^2)}{2,998 \times 10^8 \text{ m/s}} = 8,0 \times 10^{-7} \text{ N}.$$

(h) A pressão da radiação é

$$p_r = \frac{dp/dt}{A} = \frac{8,0 \times 10^{-7} \text{ N}}{2,0 \text{ m}^2} = 4,0 \times 10^{-7} \text{ Pa}.$$

APRENDA A densidade de energia é

$$u = \frac{I}{c} = \frac{119 \text{ W/m}^2}{2,998 \times 10^8 \text{ m/s}} = 4,0 \times 10^{-7} \text{ J/m}^3$$

ou seja, tem o mesmo valor que a pressão de radiação.

28. (a) Supondo que toda a radiação é absorvida, a pressão da radiação é

$$p_r = \frac{I}{c} = \frac{1,4 \times 10^3 \text{ W/m}^2}{3,0 \times 10^8 \text{ m/s}} = 4,7 \times 10^{-6} \text{ N/m}^2.$$

(b) A razão pedida é

$$\frac{p_r}{p_0} = \frac{4,7 \times 10^{-6} \text{ N/m}^2}{1,0 \times 10^5 \text{ N/m}^2} = 4,7 \times 10^{-11}.$$

29. PENSE A luz do laser transporta energia e momento. A energia e momento totais da espaçonave e da luz são conservados.

FORMULE Se a luz remove uma energia U da espaçonave, também remove um momento $p = U/c$. De acordo com a lei de conservação do momento, esse é o módulo do momento adquirido pela espaçonave. Se P é a potência do laser, a energia removida no intervalo de tempo t é $U = Pt$.

ANALISE Se a energia removida da espaçonave é Pt , o momento removido é $p = Pt/c$. Usando a relação $p = mv$, em que m é a massa da espaçonave, e levando em conta o fato de que 1 dia equivale a 86.400 segundos, temos

$$v = \frac{p}{m} = \frac{Pt}{mc} = \frac{(10 \times 10^3 \text{ W})(86.400 \text{ s})}{(1,5 \times 10^3 \text{ kg})(2,998 \times 10^8 \text{ m/s})} = 1,9 \times 10^{-3} \text{ m/s}.$$

APRENDA Como era esperado, a velocidade da espaçonave é proporcional à potência do laser.

30. (a) Como a área da seção reta do feixe é $\pi d^2/4$, em que d é o diâmetro da esfera, a intensidade do feixe é

$$I = \frac{P}{A} = \frac{P}{\pi d^2/4} = \frac{5,00 \times 10^{-3} \text{ W}}{\pi(1266 \times 10^{-9} \text{ m})^2/4} = 3,97 \times 10^9 \text{ W/m}^2 = 3,97 \text{ GW/m}^2.$$

(b) A pressão da radiação é

$$p_r = \frac{I}{c} = \frac{3,97 \times 10^9 \text{ W/m}^2}{2,998 \times 10^8 \text{ m/s}} = 13,2 \text{ Pa}.$$

(c) A força associada à radiação é igual à pressão multiplicada pela área da seção reta do feixe, que, por sua vez, é igual a P/I ;

$$F_r = p_r \left(\frac{\pi d^2}{4} \right) = p_r \left(\frac{P}{I} \right) = (13,2 \text{ Pa}) \frac{5,00 \times 10^{-3} \text{ W}}{3,97 \times 10^9 \text{ W/m}^2} = 1,67 \times 10^{-11} \text{ N}.$$

(d) A aceleração da esfera é

$$\begin{aligned} a &= \frac{F_r}{m} = \frac{F_r}{\rho(\pi d^3/6)} = \frac{6(1,67 \times 10^{-11} \text{ N})}{\pi(5,00 \times 10^3 \text{ kg/m}^3)(1266 \times 10^{-9} \text{ m})^3} \\ &= 3,14 \times 10^3 \text{ m/s}^2. \end{aligned}$$

31. Vamos supor que o Sol está suficientemente afastado da partícula para ser considerado uma fonte luminosa pontual.

(a) As forças a que uma partícula de poeira está submetida são a força da radiação \vec{F}_r , que aponta para longe do Sol, e a força gravitacional, \vec{F}_g , que aponta na direção do Sol. De acordo com as Eqs. 33-32 e 33-27, a força da radiação é dada por

$$F_r = \frac{IA}{c} = \frac{P_s}{4\pi r^2} \frac{\pi R^2}{c} = \frac{P_s R^2}{4r^2 c},$$

em que R é o raio da partícula e $A = \pi R^2$ é a área da seção reta da partícula. Por outro lado, a força gravitacional é dada pela Eq. 13-1:

$$F_g = \frac{GM_s m}{r^2} = \frac{GM_s \rho (4\pi R^3/3)}{r^2} = \frac{4\pi GM_s \rho R^3}{3r^2},$$

em que $m = \rho(4\pi R^3/3)$ é a massa da partícula. Para que a partícula descreva uma trajetória retilínea, é preciso que as duas forças sejam iguais em módulo. Fazendo $F_r = F_g$, obtemos

$$\frac{P_s R^2}{4r^2 c} = \frac{4\pi GM_s \rho R^3}{3r^2},$$

o que nos dá

$$\begin{aligned} R &= \frac{3P_s}{16\pi c \rho GM_s} = \frac{3(3,9 \times 10^{26} \text{ W})}{16\pi(3 \times 10^8 \text{ m/s})(3,5 \times 10^3 \text{ kg/m}^3)(6,67 \times 10^{-11} \text{ m}^3/\text{kg} \cdot \text{s}^2)(1,99 \times 10^{30} \text{ kg})} \\ &= 1,7 \times 10^{-7} \text{ m} = 0,17 \text{ } \mu\text{m}. \end{aligned}$$

(b) Como F_g é proporcional a R^3 , e F_r é proporcional a R^2 , se R aumentar, teremos $F_g > F_r$, e a trajetória se encurvará para perto do Sol, como a trajetória 3 da figura.

32. O primeiro polarizador reduz a intensidade da luz para metade do valor original. A redução causada pelo segundo polarizador é $\cos^2(\pi - \theta_1 - \theta_2) = \cos^2(\theta_1 + \theta_2)$. A redução causada pelo terceiro polarizador é $\cos^2(\pi - \theta_2 - \theta_3) = \cos^2(\theta_2 + \theta_3)$. Assim,

$$\begin{aligned} \frac{I_f}{I_0} &= \frac{1}{2} \cos^2(\theta_1 + \theta_2) \cos^2(\theta_2 + \theta_3) = \frac{1}{2} \cos^2(50^\circ + 50^\circ) \cos^2(50^\circ + 50^\circ) \\ &= 4,5 \times 10^{-4}. \end{aligned}$$

Isso significa que 0,045% da luz original é transmitida.

33. **PENSE** A luz não polarizada se torna polarizada depois de passar por um filtro polarizador. Este problema, que envolve três filtros polarizadores, deve ser resolvido por etapas, usando a regra da metade ou a regra do cosseno ao quadrado.

FORMULE Seja I_0 a intensidade da luz não polarizada que incide no primeiro filtro polarizador. De acordo com a regra da metade, a intensidade da luz transmitida é $I_1 = I_0/2$ e a direção de polarização da luz transmitida é $\theta_1 = 40^\circ$ no sentido anti-horário a partir do eixo y da Fig. 33-40. No caso do segundo filtro (e também do terceiro), devemos usar a regra do cosseno ao quadrado:

$$I_2 = I_1 \cos^2 \theta'_2$$

em que θ'_2 é o ângulo entre a direção de polarização da luz incidente no segundo filtro e a direção de polarização do filtro.

ANALISE Como a direção de polarização do segundo filtro é $\theta_2 = 20^\circ$ no sentido horário em relação ao eixo y , $\theta'_2 = 40^\circ + 20^\circ = 60^\circ$. A intensidade da luz transmitida é

$$I_2 = I_1 \cos^2 60^\circ = \frac{1}{2} I_0 \cos^2 60^\circ,$$

e a direção de polarização da luz transmitida é 20° no sentido horário em relação ao eixo y . A direção de polarização do terceiro filtro é $\theta_3 = 40^\circ$ no sentido anti-horário em relação ao eixo y . Em consequência, o ângulo entre a direção de

polarização da luz incidente no terceiro filtro e a direção de polarização do filtro é $20^\circ + 40^\circ = 60^\circ$. A intensidade da luz transmitida é

$$I_3 = I_2 \cos^2 60^\circ = \frac{1}{2} I_0 \cos^4 60^\circ = 3,1 \times 10^{-2} I_0.$$

Assim, a intensidade da luz depois de passar pelos três filtros é 3,1% da intensidade original.

APRENDA No caso de dois filtros polarizadores cruzados ($\theta = 90^\circ$), a intensidade da luz transmitida é zero.

34. Seja I_0 a intensidade da luz não polarizada incidente no primeiro polarizador. A intensidade da luz transmitida é $I_1 = I_0/2$ e a direção de polarização da luz transmitida é $\theta_1 = 70^\circ$ no sentido anti-horário em relação ao eixo y da Fig. 33-41. A intensidade da luz depois de passar pelo segundo polarizador é

$$I_f = \frac{1}{2} I_0 \cos^2(90^\circ - 70^\circ) = \frac{1}{2} (43 \text{ W/m}^2) (\cos^2 20^\circ) = 19 \text{ W/m}^2.$$

35. O ângulo entre a direção de polarização da luz incidente no primeiro polarizador e a direção de polarização do primeiro polarizador é $\theta_1 = 70^\circ$ e o ângulo entre a direção de polarização da luz depois de passar pelo primeiro polarizador e a direção do segundo polarizador é $|\theta_2 - \theta_1|$. Assim, se I_0 é a intensidade da luz incidente, a intensidade da luz depois de passar pelos dois polarizadores é

$$I_1 = I_0 \cos^2 \theta_1 \cos^2 |\theta_2 - \theta_1| = (43 \text{ W/m}^2) \cos^2 70^\circ \cos^2 20^\circ = 4,4 \text{ W/m}^2.$$

36. (a) A fração da luz transmitida pelos óculos é

$$\frac{I_f}{I_0} = \frac{E_f^2}{E_0^2} = \frac{E_v^2}{E_v^2 + E_h^2} = \frac{E_v^2}{E_v^2 + (2,3E_v)^2} = 0,16.$$

(b) Como, nesse caso, é a componente horizontal do campo elétrico que passa pelos óculos,

$$\frac{I_f}{I_0} = \frac{E_h^2}{E_v^2 + E_h^2} = \frac{(2,3E_v)^2}{E_v^2 + (2,3E_v)^2} = 0,84.$$

37. PENSE Um filtro polarizador pode mudar a direção de polarização da luz incidente, já que permite apenas a passagem da componente paralela à direção de polarização do filtro.

FORMULE A rotação de 90° da direção de polarização não pode ser conseguida com um único filtro. Se uma luz polarizada incide em um filtro cuja direção de polarização faz um ângulo de 90° com a direção de polarização da luz incidente, a intensidade da luz transmitida é zero.

ANALISE (a) A rotação de 90° da direção de polarização pode ser conseguida com dois filtros. Se colocarmos o primeiro filtro com a direção de polarização fazendo um ângulo $0 < \theta < 90^\circ$ com a direção de polarização da luz incidente e um segundo filtro com a direção de polarização fazendo um ângulo de 90° com a direção de polarização da luz incidente, a luz que sai do segundo filtro estará polarizada a 90° com a direção de polarização da luz incidente. A intensidade da luz transmitida será

$$I = I_0 \cos^2 \theta \cos^2(90^\circ - \theta) = I_0 \cos^2 \theta \sin^2 \theta,$$

em que I_0 é a intensidade da luz incidente. A intensidade máxima da luz transmitida usando esse método é 25% da intensidade original, obtida para $\theta = 45^\circ$.

(b) Suponha que sejam usadas n placas e que a direção de polarização da primeira placa faça um ângulo $\theta = 90^\circ/n$ com a direção de polarização da luz incidente. A direção de polarização das placas seguintes faz um ângulo de $90^\circ/n$ com a direção de polarização da placa anterior, sempre no mesmo sentido. Nesse caso, a luz transmitida pelo conjunto é polarizada e a direção de polarização faz um ângulo de 90° com a direção de polarização da luz incidente. A intensidade é

$$I = I_0 \cos^{2n}(90^\circ/n).$$

Estamos interessados em determinar o menor valor inteiro de n para o qual a intensidade é maior que $0,60I_0$. Começamos com $n = 3$ e calculamos $\cos^{2n}(90^\circ/n)$. Se o resultado for maior que 0,60, obtivemos a solução. Se for menor que 0,60, somamos 1 ao valor de n e repetimos o cálculo.

APRENDA As intensidades calculadas para $n = 3, 4$ e 5 são

$$\begin{aligned} I_{n=1} &= I_0 \cos^2(90^\circ) = 0 \\ I_{n=2} &= I_0 \cos^4(45^\circ) = I_0 / 4 = 0,25I_0 \\ I_{n=3} &= I_0 \cos^6(30^\circ) = 0,422I_0 \\ I_{n=4} &= I_0 \cos^8(22,5^\circ) = 0,531I_0 \\ I_{n=5} &= I_0 \cos^{10}(18^\circ) = 0,605I_0 \end{aligned}$$

38. Observando os pontos em que a intensidade é zero ($\theta_2 = 0^\circ$ e 90°) no gráfico da Fig. 33-43, concluímos que o polarizador 2 é perpendicular a um dos outros dois polarizadores para $\theta_2 = 0^\circ$ e perpendicular ao *outro* polarizador para $\theta_2 = 90^\circ$. Sem perda de generalidade, podemos supor que $\theta_1 = 0^\circ$ e $\theta_3 = 90^\circ$. Nesse caso, para $\theta_2 = 30^\circ$, o polarizador 2 faz um ângulo de 30° com o polarizador 1, e o polarizador 3 faz um ângulo de 60° com o polarizador 2. Assim,

$$\frac{I_f}{I_i} = \frac{1}{2} \cos^2(30^\circ) \cos^2(60^\circ) = 0,094 = 9,4\%$$

39. (a) Como a luz incidente é não polarizada, metade da luz é transmitida e metade é absorvida. Assim, a intensidade da luz transmitida é $I_t = I_0/2 = 5,0 \text{ mW/m}^2$. Como a intensidade e a amplitude do campo elétrico estão relacionadas através da equação $I = E_m^2/2\mu_0 c$, temos

$$\begin{aligned} E_m &= \sqrt{2\mu_0 c I_t} = \sqrt{2(4\pi \times 10^{-7} \text{ H/m})(3,00 \times 10^8 \text{ m/s})(5,0 \times 10^{-3} \text{ W/m}^2)} \\ &= 1,9 \text{ V/m.} \end{aligned}$$

(b) A pressão da radiação é dada por $p_r = I_a/c$, em que I_a é a intensidade da luz absorvida. Como foi visto no item (a), a intensidade da luz absorvida é $I_a = I_0/2 = 5,0 \text{ mW/m}^2$. Assim,

$$p_r = \frac{5,0 \times 10^{-3} \text{ W/m}^2}{3,00 \times 10^8 \text{ m/s}} = 1,7 \times 10^{-11} \text{ Pa.}$$

40. Observando os pontos em que a intensidade é zero ($\theta_2 = 60^\circ$ e 140°) no gráfico da Fig. 33-44, concluímos que o polarizador 2 é perpendicular a um dos outros polarizadores para $\theta_2 = 60^\circ$ e perpendicular ao *outro* polarizador para $\theta_2 = 140^\circ$. Sem perda de generalidade, podemos supor que $\theta_1 = 60^\circ + 90^\circ = 150^\circ$ e que $\theta_3 = 140^\circ - 90^\circ = 50^\circ$. Nesse caso, para $\theta_2 = 90^\circ$, o polarizador 2 faz um ângulo de $150^\circ - 90^\circ = 60^\circ$ com o polarizador 1 e um ângulo de $90^\circ - 50^\circ = 40^\circ$ com o polarizador 3. Assim,

$$\frac{I_f}{I_i} = \frac{1}{2} \cos^2(60^\circ) \cos^2(40^\circ) = 0,073 = 7,3\%.$$

41. Quando a luz polarizada, de intensidade I_0 , passa pelo primeiro polarizador, a intensidade cai para $I_0 \cos^2 \theta$. Depois que a luz passa pelo segundo polarizador, que faz um ângulo de 90° com o primeiro, a intensidade passa a ser

$$I = (I_0 \cos^2 \theta) \sin^2 \theta = I_0/10,$$

e, portanto,

$$\sin^2 \theta \cos^2 \theta = 1/10 \Rightarrow \sin \theta \cos \theta = \sin 2\theta / 2 = 1/\sqrt{10},$$

o que nos dá $\theta = 20^\circ$ ou 70° .

42. Observando o gráfico da Fig. 33-45, vemos que a intensidade da luz é zero para $\theta_2 = 160^\circ$. Como as direções dos polarizadores devem ser perpendiculares para que a intensidade da luz transmitida se anule, $\theta_1 = 160^\circ - 90^\circ = 70^\circ$. Considere a intensidade para $\theta_2 = 90^\circ$ (que não pode ser lida diretamente no gráfico, já que a escala do eixo de intensidade não é conhecida). Como sabemos que $\theta_1 = 70^\circ$, o ângulo entre os polarizadores agora é 20° . Levando em conta a redução “automática” para metade do valor inicial

que acontece quando um feixe de luz não polarizada passa por um polarizador, a fração da luz transmitida pelo conjunto de dois polarizadores é

$$I_t = \cos^2(20)/2 = 0,442 \approx 44\%.$$

43. Seja I_0 a intensidade da luz incidente e seja f a fração polarizada. A intensidade da parte polarizada é fI_0 , e esta parte contribui com $fI_0 \cos^2 \theta$ para a intensidade da luz transmitida pelo filtro polarizador, onde θ é o ângulo entre a direção de polarização da luz e a direção de polarização do filtro. A intensidade da parte não polarizada da luz incidente é $(1-f)I_0$ e esta parte contribui com $(1-f)I_0/2$ para a intensidade da luz transmitida. Assim, a intensidade da luz transmitida é

$$I = fI_0 \cos^2 \theta + \frac{1}{2}(1-f)I_0.$$

Quando o filtro gira, $\cos^2 \theta$ varia entre um mínimo de 0 e um máximo de 1, e a intensidade da luz transmitida varia entre um mínimo de

$$I_{\min} = \frac{1}{2}(1-f)I_0$$

e um máximo de

$$I_{\max} = fI_0 + \frac{1}{2}(1-f)I_0 = \frac{1}{2}(1+f)I_0.$$

A razão entre I_{\max} e I_{\min} é

$$\frac{I_{\max}}{I_{\min}} = \frac{1+f}{1-f}.$$

Fazendo $I_{\max}/I_{\min} = 5,0$ na expressão anterior, obtemos $f = 4/6 = 0,67$.

44. Aplicando a Eq. 33-36 uma vez e a Eq. 33-38 duas vezes, obtemos

$$I = \frac{1}{2}I_0 \cos^2 \theta_2 \cos^2(90^\circ - \theta_2) = \frac{1}{8}\sin^2(2\theta_2) = 0,0500 \Rightarrow \theta_2 = \frac{1}{2}\sin^{-1}(\sqrt{0,40}) = 19,6^\circ.$$

Como essa expressão não muda quando fazemos $\theta'_2 = 90 - \theta_2$, o complemento de θ_2 , $90^\circ - 19,6^\circ = 70,4^\circ$ também é uma solução. Comparando as duas soluções, chegamos à conclusão de que

(a) o menor valor possível de θ_2 é $19,6^\circ$;

(b) o maior valor possível de θ_2 é $70,4^\circ$.

45. Na Fig. 33-46, a normal à superfície refratora é vertical. O ângulo de refração é $\theta_2 = 90^\circ$ e o ângulo de incidência é dado por $\tan \theta_1 = L/D$, em que D é a altura do tanque e L é a largura do tanque. Assim,

$$\theta_1 = \tan^{-1}\left(\frac{L}{D}\right) = \tan^{-1}\left(\frac{1,10 \text{ m}}{0,850 \text{ m}}\right) = 52,31^\circ.$$

De acordo com a lei de Snell,

$$n_1 = n_2 \frac{\sin \theta_2}{\sin \theta_1} = (1,00) \left(\frac{\sin 90^\circ}{\sin 52,31^\circ} \right) = 1,26.$$

46. (a) Se os ângulos do raio incidente e do raio refratado fossem iguais, o gráfico da Fig. 33-47b seria uma reta com uma inclinação de 45° . Na verdade, a curva do material 1 tem uma inclinação maior que 45° , o que significa que o ângulo de refração é maior que o ângulo de incidência. De acordo com a lei de Snell, isso significa que $n_2 < n_1$, ou seja, que o índice de refração do meio é maior que o índice de refração da água.

(b) Usando o mesmo raciocínio do item (a), concluímos que, também neste caso, o índice de refração do meio é maior que o índice de refração da água.

(c) É mais fácil analisar o ponto mais alto de cada curva. No caso da curva 1, para $\theta_2 = 90^\circ$, $\theta_1 = 45^\circ$ e $n_2 = 1,33$ (veja a Tabela 33-1), a lei de Snell nos dá $n_1 = 1,9$.

(d) No caso da curva 2, para $\theta_2 = 90^\circ$, $\theta_1 = 67,5^\circ$, obtemos $n_1 = 1,4$.

47. De acordo com a lei de Snell,

$$n_1 \sin \theta_1 = n_2 \sin \theta_2.$$

Vamos tomar o meio 1 como sendo o vácuo, com $n_1 = 1$ e $\theta_1 = 32,0^\circ$. O meio 2 é o vidro, com $\theta_2 = 21,0^\circ$. Explicitando n_2 , obtemos

$$n_2 = n_1 \frac{\sin \theta_1}{\sin \theta_2} = (1,00) \left(\frac{\sin 32,0^\circ}{\sin 21,0^\circ} \right) = 1,48.$$

48. (a) Se os ângulos do raio incidente e do raio refratado fossem iguais, o gráfico da Fig. 33-48b seria uma reta com uma inclinação de 45° . Na verdade, a curva do material 1 tem uma inclinação menor que 45° , o que significa que o ângulo de refração é maior que o ângulo de incidência. De acordo com a lei de Snell, isso significa que $n_1 < n_2$, ou seja, que o índice de refração do meio é maior que o índice de refração da água.

(b) Usando o mesmo raciocínio do item (a), concluímos que, também neste caso, o índice de refração do meio é maior que o índice de refração da água.

(c) É mais fácil analisar o ponto na extremidade direita de cada curva. No caso da curva 1, para $\theta_1 = 90^\circ$, $\theta_2 = 67,5^\circ$ e $n_1 = 1,33$ (veja a Tabela 33-1), a lei de Snell nos dá $n_2 = 1,4$.

(d) No caso da curva 2, para $\theta_1 = 90^\circ$ e $\theta_2 = 45^\circ$, obtemos $n_2 = 1,9$.

49. Como o ângulo de incidência do raio luminoso no espelho B é $90^\circ - \theta$, o raio refletido r' faz um ângulo $90^\circ - (90^\circ - \theta) = \theta$ com a horizontal e se propaga no sentido oposto ao do raio incidente. Assim, o ângulo entre i e r' é 180° .

50. (a) Aplicando duas vezes a lei de Snell, obtemos $n_1 \sin \theta_1 = n_2 \sin \theta_2$ e $n_2 \sin \theta_2 = n_3 \sin \theta_3$, o que nos dá $n_1 \sin \theta_1 = n_3 \sin \theta_3$. Isso nos leva à conclusão de que $\theta_1 = \theta_3$ se $n_1 = n_3$. Como sabemos que $\theta_1 = 40^\circ$ na Fig. 33-50a, procuramos o valor de n_3 na Fig. 33-50b para o qual $\theta_3 = 40^\circ$. Como este valor é $n_3 = 1,6$, concluímos que $n_1 = 1,6$.

(b) Ao resolver o item (a), vimos que a influência de n_2 no ângulo do raio refratado desaparece quando a lei de Snell é aplicada duas vezes. Isso significa que não é possível calcular o índice de refração do meio 2 com base nas informações disponíveis.

(c) Usando a relação obtida no item (a), temos

$$1,6 \sin 70^\circ = 2,4 \sin \theta_3 \Rightarrow \theta_3 = \sin^{-1} (1,6 \sin 70^\circ) / 2,4 = 39^\circ.$$

51. (a) De acordo com a lei de Snell, temos

$$n_1 \sin \theta_1 = (1) \sin \theta_3 \Rightarrow \theta_3 = \sin^{-1} (n_1 \sin \theta_1) = \sin^{-1} [(1,30)(0,644)] = 56,8^\circ.$$

(b) Aplicando várias vezes a lei de Snell, obtemos

$$n_1 \sin \theta_1 = n_2 \sin \theta_2 = n_3 \sin \theta_3 = n_4 \sin \theta_4,$$

o que nos dá

$$\theta_4 = \sin^{-1} \left(\frac{n_1}{n_4} \sin \theta_1 \right) = 35,3^\circ.$$

52. (a) Uma das consequências da lei de Snell é o fato de que $\theta_2 = \theta_1$ para $n_1 = n_2$. Como sabemos que o ângulo de incidência da Fig. 33-52a é 30° , procuramos o valor de n_2 no gráfico da Fig. 33-52b para o qual $\theta_2 = 30^\circ$. Como este valor é $n_2 = 1,7$, concluímos que $n_1 = 1,7$.

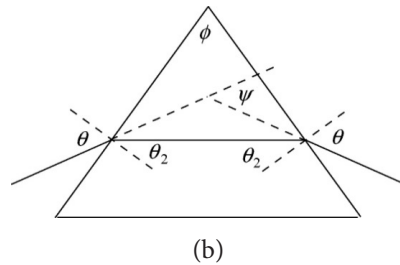
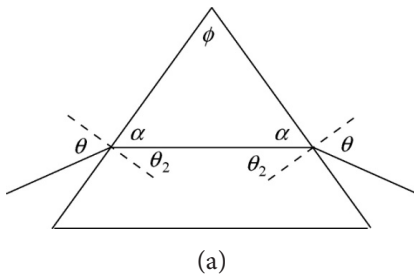
(b) De acordo com a lei de Snell, temos

$$1,7 \sin(60^\circ) = 2,4 \sin(\theta_2) \Rightarrow \theta_2 = \sin^{-1}[(1,7)(0,866)/2,4] = 38^\circ.$$

53. **PENSE** O ângulo com o qual a luz sai do prisma depende do índice de refração do prisma.

FORMULE Considere a figura (a) a seguir. O ângulo de incidência é θ e o ângulo de refração é θ_2 . Como $\theta_2 + \alpha = 90^\circ$ e $\phi + 2\alpha = 180^\circ$, temos

$$\theta_2 = 90^\circ - \alpha = 90^\circ - \frac{1}{2}(180^\circ - \phi) = \frac{\phi}{2}.$$



ANALISE Examine a figura (b) anterior e considere o ângulo formado pelo prolongamento para o interior do prisma dos raios que entram no prisma e saem dele. É fácil mostrar que esse ângulo é dado por

$$\psi = 2(\theta - \theta_2).$$

Substituindo θ_2 por $\phi/2$, obtemos $\psi = 2(\theta - \phi/2)$, o que nos dá $\theta = (\phi + \psi)/2$. Assim, de acordo com a Eq. 33-41, o índice de refração do prisma é

$$n = \frac{\sin \theta}{\sin \theta_2} = \frac{\sin \frac{1}{2}(\phi + \psi)}{\sin \frac{1}{2}\phi}.$$

APRENDA O ângulo ψ é chamado de ângulo de desvio e representa o desvio total sofrido por um raio luminoso ao passar por um prisma. Esse ângulo é mínimo quando o raio incidente e o raio emergente fazem o mesmo ângulo com a normal, como no caso que estamos examinando. Conhecendo os valores de ϕ e ψ , podemos determinar o valor de n , o índice de refração do material do prisma.

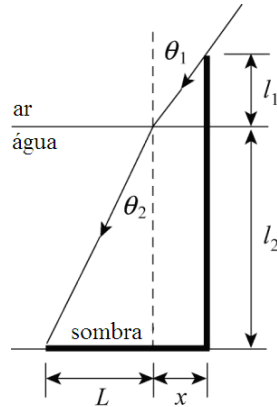
54. (a) De acordo com a lei de Snell, $n_{\text{ar}} \sin(50^\circ) = n_a \sin \theta_a$ e $n_{\text{ar}} \sin(50^\circ) = n_v \sin \theta_v$, em que os índices a e v são usados para indicar os raios azul e vermelho. Para $n_{\text{ar}} \approx 1,0$, obtemos

$$\theta_a = \sin^{-1}\left(\frac{\sin 50^\circ}{1,524}\right) = 30,176^\circ \text{ e } \theta_v = \sin^{-1}\left(\frac{\sin 50^\circ}{1,509}\right) = 30,507^\circ \Rightarrow \Delta\theta = 0,33^\circ.$$

(b) Como as duas interfaces do vidro com o ar são paralelas, os raios refratados saem do vidro com um ângulo igual ao ângulo de incidência (50°), independentemente do índice de refração, de modo que a dispersão é 0° .

55. **PENSE** Como a luz é refratada na interface ar-água, para determinar o comprimento da sombra da estaca devemos conhecer o ângulo de refração, que pode ser calculado usando a lei de Snell.

FORMULE Considere um raio que tangencie a extremidade superior da estaca, como na figura que se segue.



De acordo com os dados do problema, $\theta_1 = 90^\circ - 55^\circ = 35^\circ$, $l_1 = 0,50 \text{ m}$ e $l_2 = 2,00 \text{ m} - 0,50 \text{ m} = 1,50 \text{ m}$. O comprimento da sombra é $d = x + L$.

ANALISE A distância x é dada por

$$x = l_1 \tan \theta_1 = (0,50 \text{ m}) \tan 35^\circ = 0,35 \text{ m}.$$

De acordo com a lei de Snell, $n_2 \sin \theta_2 = n_1 \sin \theta_1$. No nosso caso, $n_1 = 1$ e $n_2 = 1,33$ (veja a Tabela 33-1). Assim,

$$\theta_2 = \sin^{-1} \left(\frac{\sin \theta_1}{n_2} \right) = \sin^{-1} \left(\frac{\sin 35,0^\circ}{1,33} \right) = 25,55^\circ.$$

A distância L é dada por

$$L = l_2 \tan \theta_2 = (1,50 \text{ m}) \tan 25,55^\circ = 0,72 \text{ m}.$$

Assim, o comprimento da sombra é $d = 0,35 \text{ m} + 0,72 \text{ m} = 1,07 \text{ m}$.

APRENDA Se a piscina estivesse vazia, $\theta_1 = \theta_2$ e o comprimento da sombra seria

$$d' = l_1 \tan \theta_1 + l_2 \tan \theta_1 = (l_1 + l_2) \tan \theta_1.$$

56. (a) Vamos usar os índices a e v para representar os raios azul e vermelho. De acordo com a lei de Snell, os ângulos de refração na primeira superfície são

$$\theta_a = \sin^{-1} \left[\frac{1}{1,343} \sin(70^\circ) \right] = 44,403^\circ$$

$$\theta_v = \sin^{-1} \left[\frac{1}{1,331} \sin(70^\circ) \right] = 44,911^\circ.$$

Esses raios atingem a segunda superfície (onde se encontra o ponto A) com ângulos complementares dos que acabamos de calcular (já que a normal à segunda superfície é perpendicular à normal à primeira superfície). Levando este fato em consideração, usamos a lei de Snell para calcular os ângulos de refração na segunda superfície:

$$\theta'_a = \sin^{-1} [1,343 \sin(90^\circ - \theta_a)] = 73,636^\circ$$

$$\theta'_v = \sin^{-1} [1,331 \sin(90^\circ - \theta_v)] = 70,497^\circ,$$

o que nos dá uma diferença de $3,1^\circ$ (e, portanto, um arco-íris com uma largura angular de $3,1^\circ$).

(b) Os dois raios refratados saem da superfície inferior do cubo com o mesmo ângulo, o ângulo de incidência (70°), e, portanto, neste caso não há arco-íris. (A situação é análoga à do item (b) do Problema 33-54.)

57. A Fig. 33-24 pode facilitar a visualização do “círculo de luz” a que o problema se refere. Imagine a figura produzida fazendo girar a Fig. 33-24a em torno de um eixo vertical passando pelo ponto S. Como o raio do círculo (que corresponde à distância a -e na Fig. 33-24a) e a profundidade h do ponto S estão relacionados pelo ângulo crítico, o diâmetro do círculo é

$$D = 2h \tan \theta_c = 2h \tan \left[\sin^{-1} \left(\frac{1}{n_a} \right) \right] = 2(80,0 \text{ cm}) \tan \left[\sin^{-1} \left(\frac{1}{1,33} \right) \right] = 182 \text{ cm}.$$

58. O ângulo crítico é

$$\theta_c = \sin^{-1} \left(\frac{1}{n} \right) = \sin^{-1} \left(\frac{1}{1,8} \right) = 34^\circ.$$

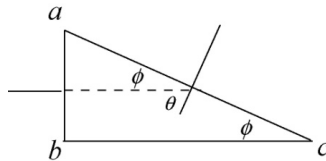
59. **PENSE** A reflexão interna total acontece quando o ângulo de incidência θ_1 excede um ângulo crítico tal que, de acordo com a lei de Snell, $\sin \theta_2 = 1$.

FORMULE Se um raio luminoso que está se propagando em um meio de índice de refração n_1 atinge a interface de um meio de índice de refração $n_2 < n_1$ e o ângulo de incidência excede um valor crítico dado por

$$\theta_c = \sin^{-1} \left(\frac{n_2}{n_1} \right),$$

o raio luminoso sofre reflexão interna total.

Neste problema, o raio incidente é perpendicular à face ab do prisma. Isso significa que o raio não sofre refração na face ab , e o ângulo de incidência na superfície ac é $\theta = 90^\circ - \phi$, como mostra a figura a seguir.



ANALISE (a) Para que ocorra reflexão interna total na segunda superfície, $n_v \sin (90^\circ - \phi)$ deve ser maior que n_{ar} , em que n_v é o índice de refração do vidro, e n_{ar} é o índice de refração do ar. Como $\sin (90^\circ - \phi) = \cos \phi$, estamos interessados em determinar o maior valor de ϕ para o qual $n_v \cos \phi \geq n_{ar}$. Lembre-se de que $\cos \phi$ diminui quando ϕ aumenta a partir de zero. Quando ϕ atinge o maior valor para o qual acontece reflexão interna total, $n_v \cos \phi = n_{ar}$, o que nos dá

$$\phi = \cos^{-1} \left(\frac{n_{ar}}{n_v} \right) = \cos^{-1} \left(\frac{1}{1,52} \right) = 48,9^\circ,$$

em que tomamos o índice de refração do ar como sendo $n_{ar} = 1$.

(b) Se o prisma estiver imerso em água, o maior valor de ϕ para o qual acontece reflexão interna total será

$$\phi = \cos^{-1} \left(\frac{n_{ag}}{n_g} \right) = \cos^{-1} \left(\frac{1,33}{1,52} \right) = 29,0^\circ,$$

em que tomamos o índice de refração da água como $n_{ag} = 1,33$ (veja a Tabela 33-1).

APRENDA A reflexão interna total não pode acontecer se a luz estiver se propagando inicialmente no meio com menor índice de refração, já que a equação do ângulo crítico, $\theta_c = \sin^{-1}(n_2/n_1)$ não tem solução para $n_2/n_1 > 1$.

60. (a) De acordo com a Eq. 33-44, o ângulo crítico é aquele para o qual $\theta_3 = 90^\circ$. Assim (com $\theta_2 = \theta_c$, que não precisamos calcular), temos

$$n_1 \sin \theta_1 = n_2 \sin \theta_2 = n_3 \sin \theta_3,$$

o que nos dá

$$\theta_1 = \theta_A = \sin^{-1} n_3/n_1 = 54,3^\circ.$$

(b) Sim. Quando θ diminui, θ_2 também diminui, ficando menor que o ângulo crítico. Isso significa que parte da luz é transmitida para o meio 3.

(c) Como o ângulo crítico é o complemento do ângulo de difração do meio 2, temos

$$n_1 \sin \theta = n_2 \cos \theta_c = n_2 \sqrt{1 - \left(\frac{n_3}{n_2}\right)^2} = \sqrt{n_2^2 - n_3^2},$$

o que nos dá $\theta = 51,1^\circ$.

(d) Não. Quando θ diminui, θ_2 aumenta, o que torna o ângulo θ_2 maior que o ângulo crítico. Assim, nenhuma luz é transmitida para o meio 3.

61. (a) Note que o complemento do ângulo de difração do meio 2 é o ângulo crítico. Assim,

$$n_1 \sin \theta = n_2 \cos \theta_c = n_2 \sqrt{1 - \left(\frac{n_3}{n_2}\right)^2} = \sqrt{n_2^2 - n_3^2},$$

o que nos dá $\theta = 26,8^\circ$.

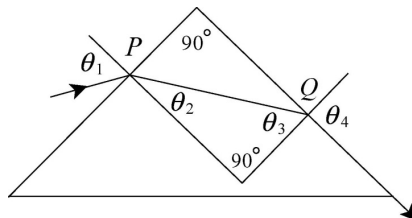
(b) Sim. Quando θ aumenta, o ângulo de incidência da luz na interface entre os meios 2 e 3 diminui, ficando menor que o ângulo crítico. Isso significa que parte da luz é transmitida para o meio 3.

62. (a) A Fig. 33-24 pode facilitar a visualização da circunferência a que o problema se refere. Imagine a figura produzida fazendo girar a Fig. 33-24a em torno de um eixo vertical passando pelo ponto S. Como o raio da circunferência (que corresponde à distância $a-e$ na Fig. 33-24a) e a profundidade h do ponto S estão relacionados pelo ângulo crítico, o diâmetro da circunferência é

$$d = 2h \tan \theta_c = 2h \tan \left[\sin^{-1} \left(\frac{1}{n_a} \right) \right] = 2(2,00 \text{ m}) \tan \left[\sin^{-1} \left(\frac{1}{1,33} \right) \right] = 4,56 \text{ m}.$$

(b) De acordo com a equação obtida no item (a), o diâmetro d é diretamente proporcional à profundidade h ; assim, se o peixe descer para uma profundidade maior, o diâmetro da circunferência aumentará.

63. (a) A figura a seguir mostra o percurso de um raio luminoso no interior do prisma.



Seja θ_1 o ângulo de incidência, seja θ_2 o ângulo de refração na primeira superfície e seja θ_3 o ângulo de incidência na segunda superfície. O ângulo de refração na segunda superfície é $\theta_4 = 90^\circ$. Como mostra a figura, as normais à primeira e à segunda superfícies são mutuamente perpendiculares. Como a soma dos ângulos internos do triângulo formado pelo raio luminoso e as duas normais é 180° , $\theta_3 = 90^\circ - \theta_2$ e

$$\sin \theta_3 = \sin(90^\circ - \theta_2) = \cos \theta_2 = \sqrt{1 - \sin^2 \theta_2}.$$

Aplicando a lei de Snell à segunda superfície, obtemos $n \sin \theta_3 = \sin \theta_4 = 1$, o que nos dá $n\sqrt{1 - \sin^2 \theta_2} = 1$. Aplicando a lei de Snell à primeira superfície, obtemos $\sin \theta_1 = n \sin \theta_2$, o que nos dá $\sin \theta_2 = (\sin \theta_1)/n$ e, portanto,

$$n\sqrt{1 - \frac{\sin^2 \theta_1}{n^2}} = 1.$$

Elevando ambos os membros ao quadrado e explicitando n , obtemos

$$n = \sqrt{1 + \sin^2 \theta_1}.$$

(b) Como o maior valor possível de $\sin^2 \theta_1$ é 1, o maior valor possível de n é

$$n_{\max} = \sqrt{2} = 1,41.$$

(c) Sim. Se o ângulo de incidência na primeira superfície for maior que θ_1 , o ângulo de refração será maior que θ_2 e o ângulo de incidência na segunda superfície será menor que θ_3 ($= 90^\circ - \theta_2$). Assim, o ângulo de incidência na segunda superfície será menor que o ângulo crítico para reflexão interna total, e a luz sairá do prisma.

(d) Não. Se o ângulo de incidência na primeira superfície for menor que θ_1 , o ângulo de refração será menor que θ_2 e o ângulo de incidência na segunda superfície será maior que θ_3 . Assim, o ângulo de incidência na segunda superfície será maior que o ângulo crítico para reflexão interna total, e toda a luz será refletida de volta para o interior do prisma.

64. (a) Vamos chamar de A o ponto de entrada no prisma do raio luminoso (o ponto onde o raio encontra a superfície esquerda do prisma na Fig. 33-53), de B o vértice superior do prisma, e de C o ponto de saída do raio luminoso. Vamos chamar de β o ângulo entre a reta AB e a direção do raio no interior do prisma (o complemento do ângulo de refração na primeira superfície), e de α o ângulo entre a reta BC e a direção do raio no interior do prisma (o complemento do ângulo de incidência na segunda superfície). Quando o ângulo do raio incidente tem o menor valor necessário para que a luz saia do prisma, o ângulo de incidência na segunda superfície é o ângulo crítico para reflexão interna total, e o ângulo de refração na segunda superfície é 90° . Seja θ_1 o ângulo de incidência na primeira superfície, seja θ_2 o ângulo de refração na primeira superfície, e seja θ_3 o ângulo de incidência na segunda superfície. A aplicação da lei de Snell à segunda superfície nos dá

$$n \sin \theta_3 = 1 \Rightarrow \sin \theta_3 = 1/n = 1/1,60 = 0,625 \Rightarrow \theta_3 = 38,68^\circ.$$

Como a soma dos ângulos do triângulo ABC é 180° , $\alpha + \beta = 120^\circ$. Como $\alpha = 90^\circ - \theta_3 = 51,32^\circ$, $\beta = 120^\circ - 51,32^\circ = 69,68^\circ$. Assim, $\theta_2 = 90^\circ - \beta = 21,32^\circ$. Aplicando a lei de Snell à primeira superfície, obtemos

$$\sin \theta_1 = n \sin \theta_2 = 1,60 \sin 21,32^\circ = 0,5817 \Rightarrow \theta_1 = 35,6^\circ.$$

(b) Nesse caso, como o ângulo de saída deve ser igual ao ângulo de entrada, a aplicação da lei de Snell à segunda superfície nos dá $n \sin \theta_3 = \sin \theta_1$. As relações entre os ângulos são as mesmas do item (a): $\alpha + \beta = 120^\circ$, $\alpha = 90^\circ - \theta_3$ e $\beta = 90^\circ - \theta_2$. Assim, temos $\theta_2 + \theta_3 = 60^\circ$, o que nos dá

$$\sin \theta_1 = n \sin(60^\circ - \theta_2) \Rightarrow \sin \theta_1 = n \sin 60^\circ \cos \theta_2 - n \cos 60^\circ \sin \theta_2,$$

onde foi usada a relação trigonométrica

$$\sin(A - B) = \sin A \cos B - \cos A \sin B.$$

Aplicando a lei de Snell à primeira superfície, obtemos

$$\sin \theta_1 = n \sin \theta_2 \Rightarrow \sin \theta_2 = (1/n) \sin \theta_1,$$

o que nos dá

$$\cos \theta_2 = \sqrt{1 - \sin^2 \theta_2} = \sqrt{1 - (1/n^2) \sin^2 \theta_1}.$$

Assim,

$$\sin \theta_1 = n \sin 60^\circ \sqrt{1 - (1/n)^2 \sin^2 \theta_1} - \cos 60^\circ \sin \theta_1$$

e, portanto,

$$(1 + \cos 60^\circ) \sin \theta_1 = \sin 60^\circ \sqrt{n^2 - \sin^2 \theta_1}.$$

Elevando ambos os membros ao quadrado e explicitando $\sin \theta_1$, obtemos

$$\sin \theta_1 = \frac{n \sin 60^\circ}{\sqrt{(1 + \cos 60^\circ)^2 + \sin^2 60^\circ}} = \frac{1,60 \sin 60^\circ}{\sqrt{(1 + \cos 60^\circ)^2 + \sin^2 60^\circ}} = 0,80,$$

o que nos dá $\theta_1 = 53,1^\circ$.

65. Ao examinar a Fig. 33-61, é importante notar que o ângulo que o raio luminoso faz com o eixo central da fibra ótica quando está no ar, θ , não é igual ao ângulo que o raio luminoso faz com o eixo da fibra ótica quando está no núcleo de plástico, que vamos chamar de θ' . De acordo com a lei de Snell, temos

$$\sin \theta' = \frac{1}{n_1} \sin \theta.$$

O ângulo de incidência do raio luminoso no revestimento de plástico é o complemento de θ' , que vamos chamar de θ'_{comp} , lembrando que

$$\sin \theta'_{\text{comp}} = \cos \theta' = \sqrt{1 - \sin^2 \theta'}.$$

No caso crítico, $\theta'_{\text{comp}} = \theta_c$, em que θ_c é o ângulo dado pela Eq. 33-45. Assim,

$$\frac{n_2}{n_1} = \sin \theta'_{\text{comp}} = \sqrt{1 - \sin^2 \theta'} = \sqrt{1 - \left(\frac{1}{n_1} \sin \theta \right)^2},$$

o que nos dá $\sin \theta = \sqrt{n_1^2 - n_2^2}$. Para $n_1 = 1,58$ e $n_2 = 1,53$, obtemos

$$\theta = \sin^{-1}(1,58^2 - 1,53^2) = 23,2^\circ.$$

66. (a) Vamos considerar a reta que liga o ponto de entrada do raio luminoso à aresta superior direita do cubo da Fig. 33-62. Uma vez que esta reta é a hipotenusa de um triângulo retângulo cujos catetos são H e W , o ângulo que a reta faz com a horizontal é $\tan^{-1}(2/3) = 33,7^\circ$. Por outro lado, de acordo com a lei de Snell, considerando o índice de refração do ar igual a 1, o ângulo de refração é dado por

$$\sin 40^\circ = 1,56 \sin \theta_2 \Rightarrow \theta_2 = 24,33^\circ.$$

Como este ângulo é menor que $33,7^\circ$, o ponto da primeira reflexão está na face 3.

(b) O ponto em que o raio atinge a face 3 está a uma distância de $H - W \tan 24,33 = 0,643$ cm da aresta superior direita. Por simetria, o raio atinge a face superior (face 2) em um ponto situado a $0,643 \tan(90^\circ - 24,33^\circ) = 1,42$ cm da aresta superior direita. Como este valor é menor que 3,00 cm, o ponto da segunda reflexão está realmente na face 2.

(c) Como as normais às faces 1 e 3 são horizontais, o ângulo de incidência do raio na face 3 é igual ao ângulo de refração na face 1. Assim, de acordo com a lei de Snell, considerando o índice de refração igual a 1, temos

$$1,56 \sin 24,3^\circ = \sin \theta_{\text{final}} \Rightarrow \theta_{\text{final}} = 40^\circ.$$

(d) O ângulo entre o raio e a face superior (face 2) (medido em relação à normal, que, no caso, é vertical) é $90^\circ - \theta_2 = 90^\circ - 24,33^\circ = 65,67^\circ$, que é muito maior que o ângulo crítico para reflexão interna total, $\sin^{-1}(1/1,56) = 39,9^\circ$. Assim, não há refração no ponto da segunda reflexão.

(e) Nesse caso, de acordo com a lei de Snell, o ângulo de refração na face 1 é dado por

$$\sin 70^\circ = 1,56 \sin \theta_2 \Rightarrow \theta_2 = 37,04^\circ.$$

Como este ângulo é maior que $33,7^\circ$, o ponto da primeira reflexão está na face 2.

(f) Como o ponto da face 2 atingido pelo raio está muito próximo da aresta superior direita, a segunda reflexão certamente acontece na face 3.

(g) Como o ângulo de incidência na face 2 é $90^\circ - \theta_2 = 90^\circ - 37,04^\circ = 52,94^\circ$, muito maior que ângulo crítico para reflexão interna total, $\sin^{-1}(1/1,56) = 39,9^\circ$, não há refração no ponto da primeira reflexão.

(h) Como as normais às faces 1 e 3 são horizontais, o ângulo de incidência do raio na face 3 é igual ao ângulo de refração na face 1. Assim, de acordo com a lei de Snell, considerando o índice de refração igual a 1, temos

$$1,56 \sin 37,04^\circ = \sin \theta_{\text{final}} \Rightarrow \theta_{\text{final}} = 70^\circ.$$

Os resultados dos itens (c) e (h) são exemplos do princípio geral de que um raio luminoso não sofre um desvio ao passar por um material se as superfícies de entrada e saída são paralelas.

67. (a) De acordo com a Eq. 33-45, temos

$$\theta_c = \sin^{-1} \left(\frac{n_3}{n_2} \right)$$

que, para $\theta_c = \phi = 60^\circ$, nos dá

$$n_3 = n_2 \sin 60^\circ = (1,60)(0,866) = 1,39.$$

(b) Aplicando a lei de Snell à interface entre os meios 1 e 2, obtemos

$$n_2 \sin 30^\circ = n_1 \sin \theta \Rightarrow \theta = \sin^{-1} \left(\frac{n_2 \sin 30^\circ}{n_1} \right) = 28,1^\circ.$$

(c) Se o valor de θ for aumentado, o ângulo ϕ também aumentará e o ângulo de incidência do raio na interface entre os meios 2 e 3 será maior que θ_c . Assim, a luz não conseguirá penetrar no meio 3.

68. (a) De acordo com a Eq. 33-49 e a Tabela 33-1, temos

$$\theta_B = \tan^{-1} n_a = \tan^{-1}(1,33) = 53,1^\circ.$$

(b) Sim, já que n_a depende do comprimento de onda da luz.

69. **PENSE** Uma luz refletida é totalmente polarizada se o ângulo de incidência na interface for igual ao ângulo de Brewster.

FORMULE O ângulo de incidência para o qual a luz refletida é totalmente polarizada é dado pela Eq. 33-49:

$$\theta_B = \tan^{-1} \left(\frac{n_2}{n_1} \right)$$

em que n_1 é o índice de refração do primeiro meio e n_2 é o índice de refração do segundo meio. O ângulo θ_B é chamado de ângulo de Brewster.

ANALISE Para $n_1 = 1,33$ e $n_2 = 1,53$, temos

$$\theta_B = \tan^{-1}(n_2/n_1) = \tan^{-1}(1,53/1,33) = 49,0^\circ.$$

APRENDA No caso de ângulos de incidência diferentes do ângulo de Brewster, a luz refletida é parcialmente polarizada, ou seja, apresenta uma proporção maior de componentes com o campo elétrico perpendicular ao plano de incidência do que com o campo elétrico paralelo ao plano de incidência. Quando o ângulo de incidência é igual ao ângulo de Brewster, a luz refletida é totalmente polarizada e apresenta apenas componentes com o campo elétrico perpendicular ao plano de incidência.

70. Aplicando duas vezes a lei de Snell, temos

$$\left(\frac{n_2}{n_1}\right)\left(\frac{n_3}{n_2}\right) = (\tan \theta_{B1 \rightarrow 2})(\tan \theta_{B2 \rightarrow 3}) \Rightarrow \frac{n_3}{n_1} = (\tan \theta_1)(\tan \theta_2).$$

Como as placas são paralelas, o ângulo de refração na primeira interface é igual ao ângulo de incidência na segunda interface. Sabemos que, quando o ângulo de incidência é o ângulo de Brewster, o ângulo de refração é o complemento do ângulo de reflexão. Assim, usando a notação da Fig. 33-64,

$$\theta_2 = (\theta_1)_c = 90^\circ - \theta_1$$

e, portanto,

$$\tan \theta_2 = \tan (\theta_1)_c = \frac{1}{\tan \theta_1}$$

e o produto das tangentes na equação anterior é igual a 1, o que nos dá $n_3 = n_1 = 1,0$.

71. PENSE Todas as ondas eletromagnéticas, entre elas as ondas luminosas, se propagam no vácuo à mesma velocidade c , conhecida como velocidade da luz.

FORMULE O tempo que uma onda eletromagnética leva para percorrer uma distância d no vácuo é $t = d/c$, em que c é a velocidade da luz ($3,00 \times 10^8$ m/s).

ANALISE (a) Para $d = 150$ km $= 150 \times 10^3$ m, temos

$$t = \frac{d}{c} = \frac{150 \times 10^3 \text{ m}}{3,00 \times 10^8 \text{ m/s}} = 5,00 \times 10^{-4} \text{ s}.$$

(b) Na lua cheia, a Lua e o Sol estão em lados opostos da Terra e, portanto, a distância percorrida pela luz é

$$d = (1,5 \times 10^8 \text{ km}) + 2(3,8 \times 10^5 \text{ km}) = 1,51 \times 10^8 \text{ km} = 1,51 \times 10^{11} \text{ m}.$$

O tempo que a luz leva para percorrer essa distância é

$$t = \frac{d}{c} = \frac{1,51 \times 10^{11} \text{ m}}{3,00 \times 10^8 \text{ m/s}} = 500 \text{ s} = 8,4 \text{ minutos}.$$

(c) Para $d = 2(1,3 \times 10^9 \text{ km}) = 2,6 \times 10^{12}$ m, temos

$$t = \frac{d}{c} = \frac{2,6 \times 10^{12} \text{ m}}{3,00 \times 10^8 \text{ m/s}} = 8,7 \times 10^3 \text{ s} = 2,4 \text{ horas}.$$

(d) Para $d = 6500$ anos-luz, temos

$$t = \frac{d}{c} = \frac{6500 \text{ anos-luz}}{1,00 \text{ ano-luz/ano}} = 6500 \text{ anos}.$$

A explosão aconteceu no ano $1054 - 6500 = -5446$ ou 5446 a.C.

APRENDA Como a velocidade c da luz é constante, o tempo de percurso é proporcional a distância.

72. (a) A expressão $E_y = E_m \sin(kx - \omega t)$ atende à condição de que o campo elétrico no ponto P está diminuindo com o tempo no instante $t = 0$ se supusermos que o ponto P está à direita da origem ($x > 0$) e o valor de x é menor que $\pi/2k = \lambda/4$. É importante

lembrar que, nesta descrição, a onda está se propagando para a direita. Mais especificamente, $x_p = (1/k) \sin^{-1}(0,25 \text{ rad})$ para que $E_y = (1/4)E_m$ no ponto P , no instante $t = 0$. Além disso, no caso da expressão escolhida para o campo elétrico, $E_y(0,0) = 0$. Assim, a resposta do item (a) é simplesmente o valor de x_p . Como $k = 2\pi f/c$, temos

$$d_1 = x_p = \frac{c}{2\pi f} \sin^{-1}(0,25 \text{ rad}) = \frac{(3,0 \times 10^8)(0,252)}{2\pi(4,0 \times 10^{14})} = 30,1 \text{ nm}.$$

(b) Ao nos deslocarmos para a direita ao longo do eixo x (ainda examinando este “instantâneo” da onda em $t = 0$), encontramos outro ponto em que $E_y = 0$ a uma distância de meio comprimento de onda do ponto anterior no qual $E_y = 0$. Como $\lambda = c/f$, a coordenada deste ponto é $x = \lambda/2 = c/2f$, o que significa que o ponto está a uma distância à direita de P dada por

$$d_2 = \frac{c}{2f} - d_1 = \frac{3 \times 10^8}{2(4,0 \times 10^{14})} = 375 \text{ nm} - 30,1 \text{ nm} \approx 345 \text{ nm}.$$

73. PENSE As componentes elétrica e magnética da onda eletromagnética estão sempre em fase, são mutuamente perpendiculares e são perpendiculares à direção de propagação da onda.

FORMULE Os campos elétrico e magnético de uma onda eletromagnética podem ser representados pelas seguintes funções da posição e do tempo:

$$E = E_m \sin(kx + \omega t), \quad B = B_m \sin(kx + \omega t)$$

em que E_m e B_m são as amplitudes dos campos, k é o número de onda e ω é a frequência angular. As amplitudes dos campos estão relacionadas pela Eq. 33-4: $E_m/B_m = c$, em que c é a velocidade da onda.

ANALISE (a) De acordo com a Eq. 16-13, $\omega = kc$. Como, neste problema, $k = 1,00 \times 10^6 \text{ m}^{-1}$, $\omega = (1,00 \times 10^6 \text{ m}^{-1})(3,00 \times 10^8 \text{ m/s}) = 3,00 \times 10^{14} \text{ rad/s}$. De acordo com a Eq. 33-5,

$$B_m = E_m/c = (5,00 \text{ V/m})/c = 1,67 \times 10^{-8} \text{ T}.$$

O sinal do segundo termo do argumento da função senoidal de E mostra que a onda está se propagando no sentido do semieixo z negativo. Como $\vec{E} = E_y \hat{j}$ e sabemos que \vec{B} é perpendicular a \vec{E} e a $\vec{E} \times \vec{B}$, concluímos que a única componente de \vec{B} diferente de zero é B_x , cujo valor é dado por

$$B_x = (1,67 \times 10^{-8} \text{ T}) \sin[(1,00 \times 10^6 / \text{m})z + (3,00 \times 10^{14} / \text{s})t].$$

(b) O comprimento de onda é $\lambda = 2\pi/k = 6,28 \times 10^{-6} \text{ m}$.

(c) O período é $T = 2\pi/\omega = 2,09 \times 10^{-14} \text{ s}$.

(d) A intensidade é

$$I = \frac{1}{c\mu_0} \left(\frac{5,00 \text{ V/m}}{\sqrt{2}} \right)^2 = 0,0332 \text{ W/m}^2.$$

(e) Como foi dito no item (a), a única componente de \vec{B} diferente de zero é B_x . Isso significa que o campo magnético oscila paralelamente ao eixo x .

(f) O valor do comprimento de onda obtido no item (b) mostra que essa onda pertence à região do infravermelho do espectro eletromagnético.

APRENDA As ondas eletromagnéticas são ondas transversais. Conhecendo a função que descreve a componente elétrica da onda, podemos determinar a componente magnética, e vice-versa.

74. (a) Seja r o raio e seja ρ a massa específica da partícula. Como o volume é $(4\pi/3)r^3$, a massa é $m = (4\pi/3)\rho r^3$. Seja R a distância entre o Sol e a partícula, e seja M a massa do Sol. Nesse caso, o módulo da força gravitacional que o Sol exerce sobre a partícula é

$$F_g = \frac{GMm}{R^2} = \frac{4\pi GM\rho r^3}{3R^2}.$$

Se P é a potência irradiada pelo Sol, a intensidade da radiação na posição da partícula é $I = P/4\pi R^2$; se toda a luz é absorvida, a pressão da radiação é

$$p_r = \frac{I}{c} = \frac{P}{4\pi R^2 c}.$$

Como toda a radiação que passa por um círculo de raio r e área $A = \pi r^2$, perpendicular à direção de propagação, é absorvida pela partícula, o módulo da força que a radiação exerce sobre a partícula é

$$F_r = p_r A = \frac{\pi P r^2}{4\pi R^2 c} = \frac{P r^2}{4R^2 c}.$$

O sentido da força é para longe do Sol. Note que tanto a força da gravidade como a força da radiação são proporcionais a R^2 . Assim, se uma das forças é maior que a outra a uma certa distância do Sol, o mesmo acontece a qualquer distância. Por outro lado, as duas forças não variam da mesma forma com o raio r : F_g é proporcional a r^3 e F_r é proporcional a r^2 . Assim, esperamos que as partículas pequenas sejam empurradas para longe do Sol pela força da radiação, e as partículas grandes sejam atraídas para o Sol pela força gravitacional. O valor crítico do raio é aquele para o qual as duas forças são iguais. Igualando as expressões de F_g e F_r e explicitando r , obtemos

$$r = \frac{3P}{16\pi G M \rho c}.$$

(b) De acordo com o Apêndice C, $M = 1,99 \times 10^{30}$ kg e $P = 3,90 \times 10^{26}$ W. Assim,

$$\begin{aligned} r &= \frac{3(3,90 \times 10^{26} \text{ W})}{16\pi(6,67 \times 10^{-11} \text{ N} \cdot \text{m}^2/\text{kg}^2)(1,99 \times 10^{30} \text{ kg})(1,0 \times 10^3 \text{ kg/m}^3)(3,00 \times 10^8 \text{ m/s})} \\ &= 5,8 \times 10^{-7} \text{ m}. \end{aligned}$$

75. PENSE A reflexão interna total acontece quando o ângulo de incidência excede um ângulo crítico tal que o valor do seno do raio difratado, calculado usando a lei de Snell, é maior que 1.

FORMULE O ângulo crítico para que haja reflexão interna total é fornecido pela Eq. 33-45,

$$\theta_c = \text{sen}^{-1}\left(\frac{n_2}{n_1}\right),$$

em que $n_1 > n_2$.

Na Fig. 33-65, $\theta_1 = 45^\circ$ é o ângulo de incidência na primeira superfície; vamos chamar de θ_2 o ângulo de refração correspondente, e de θ_3 o ângulo de incidência na segunda superfície. A condição para reflexão interna total na segunda superfície é

$$n \text{ sen } \theta_3 \geq 1.$$

Estamos interessados em determinar o menor valor do índice de refração n para o qual essa desigualdade é satisfeita. Aplicando a lei de Snell à primeira superfície, obtemos a relação

$$n \text{ sen } \theta_2 = \text{sen } \theta_1.$$

Analisando o triângulo formado pela superfície da placa e o raio refratado, é fácil mostrar que $\theta_3 = 90^\circ - \theta_2$. Assim, a condição para que haja reflexão interna total se torna

$$1 \leq n \text{ sen}(90^\circ - \theta_2) = n \cos \theta_2.$$

Elevando ao quadrado essa desigualdade e usando a relação $\text{sen}^2 \theta_2 + \cos^2 \theta_2 = 1$, obtemos a desigualdade $1 \leq n^2 (1 - \text{sen}^2 \theta_2)$. Como, de acordo com a lei de Snell, $\text{sen } \theta_2 = (1/n) \text{ sen } \theta_1$, temos

$$1 \leq n^2 \left(1 - \frac{\text{sen}^2 \theta_1}{n^2}\right) = n^2 - \text{sen}^2 \theta_1.$$

O menor valor de n para o qual essa desigualdade é verdadeira é aquele para o qual $1 = n^2 - \sin^2 \theta_1$. Explicitando n , obtemos

$$n = \sqrt{1 + \sin^2 \theta_1} = \sqrt{1 + \sin^2 45^\circ} = 1,22.$$

APRENDA Para $n = 1,22$, $\theta_2 = \sin^{-1}[(1/1,22) \sin 45^\circ] = 35^\circ$, o que nos dá $\theta_3 = 90^\circ - 35^\circ = 55^\circ$ como ângulo de incidência na segunda superfície. É fácil verificar que $n \sin \theta_3 = (1,22) \sin 55^\circ = 1$, que é realmente a condição limite para reflexão interna total.

76. Como alguns ângulos da Fig. 33-66 são medidos em relação a um eixo vertical e outros são medidos em relação a um eixo horizontal, precisamos tomar cuidado ao calcular as diferenças entre os ângulos. Assim, por exemplo, a diferença $\Delta\theta_1$ entre as direções de polarização do primeiro e do segundo polarizador é 110° (ou 70° , dependendo de se a medida é feita no sentido horário ou no sentido anti-horário; o resultado final é o mesmo nos dois casos). A diferença entre as direções do segundo e do terceiro polarizador, $\Delta\theta_2$, é 40° , e a diferença entre as direções do terceiro e do quarto polarizador, $\Delta\theta_3$, também é 40° . Levando em conta o fato de que a intensidade de uma luz não polarizada é reduzida à metade ao passar por um polarizador com qualquer orientação (Eq. 33-36) e chamando de I_0 a intensidade inicial, a intensidade da luz transmitida pelo sistema, de acordo com a Eq. 33-38, é

$$I = I_0 \left(\frac{1}{2} \cos^2(\Delta\theta_1) \cos^2(\Delta\theta_2) \cos^2(\Delta\theta_3) \right) = (25 \text{ W/m}^2) \left(\frac{1}{2} \cos^2(70^\circ) \cos^2(40^\circ) \cos^2(40^\circ) \right) \\ = 0,50 \text{ W/m}^2.$$

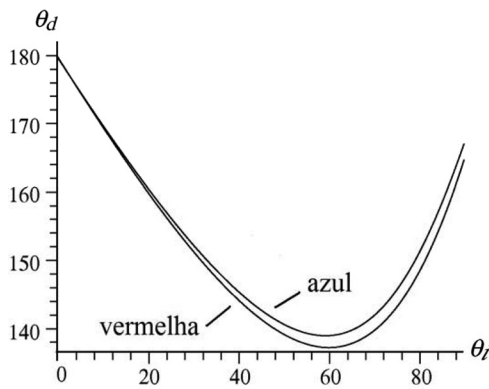
77. (a) A primeira contribuição para o desvio total é a primeira refração: $\delta\theta_1 = \theta_i - \theta_r$. A contribuição seguinte é uma reflexão. Como o ângulo entre o raio luminoso antes da reflexão e a normal à superfície da esfera é θ_r , e, de acordo com a Eq. 33-39, o ângulo após a reflexão também é igual a θ_r , o desvio causado pela reflexão, levando em conta a inversão do sentido de propagação, é $\delta\theta_2 = 180^\circ - 2\theta_r$. A contribuição final é a refração que acontece quando o raio sai da gota: $\delta\theta_3 = \theta_i - \theta_r$. Assim,

$$\theta_d = \delta\theta_1 + \delta\theta_2 + \delta\theta_3 = 180^\circ + 2\theta_i - 4\theta_r.$$

(b) De acordo com a lei de Snell, $n_{\text{ar}} \sin \theta_i = n \sin \theta_r$, o que, para $n_{\text{ar}} \approx 1$, nos dá $\theta_r = \sin^{-1}[(\sin \theta_i)/n]$ e

$$\theta_d = 180^\circ + 2\theta_i - 4 \sin^{-1}[(\sin \theta_i)/n].$$

A figura a seguir mostra os gráficos de θ_d em função de θ_i para $n = 1,331$ (luz vermelha) e $n = 1,343$ (luz azul).



(c) Ampliando o gráfico na região próxima de $\theta_i = 60^\circ$ ou derivando a expressão anterior e igualando o resultado a zero, concluímos que o mínimo de θ_d para a luz vermelha é $137,63^\circ \approx 137,6^\circ$, o que acontece para $\theta_i = 59,5^\circ$.

(d) No caso da luz azul, o mínimo de θ_d é $139,35^\circ \approx 139,4^\circ$ e acontece para $\theta_i = 58,5^\circ$.

(e) De acordo com os resultados dos itens (c) e (d), a largura angular do arco-íris é $139,35^\circ - 137,63^\circ = 1,72^\circ \approx 1,7^\circ$.

78. (a) A primeira contribuição para o desvio angular é a primeira refração: $\delta\theta_1 = \theta_i - \theta_r$. As contribuições seguintes são as reflexões. Como o ângulo entre o raio luminoso antes da reflexão e a normal à superfície da esfera é θ_r , e, de acordo com a Eq. 33-39, o ângulo após a reflexão também é igual a θ_r , o desvio causado por uma reflexão, levando em conta a inversão do sentido de propagação,

é $\delta\theta_2 = 180^\circ - 2\theta_r$. Assim, no caso de k reflexões, temos $\delta\theta_{2k} = k\theta_2 = k(180^\circ - 2\theta_r)$. A contribuição final é a refração que acontece quando o raio sai da gota: $\delta\theta_3 = \theta_i - \theta_r$. Assim,

$$\theta_{\text{desv}} = \delta\theta_1 + \delta\theta_2 + \delta\theta_3 = 2(\theta_i - \theta_r) + k(180^\circ - 2\theta_r) = k(180^\circ) + 2\theta_i - 2(k+1)\theta_r.$$

(b) Para $k = 2$ e $n = 1,331$ (dado no Problema 33-77), o mínimo de θ_{desv} para a luz vermelha é $230,37^\circ \approx 230,4^\circ$, que acontece para $\theta_i = 71,90^\circ$.

(c) Para $k = 2$ e $n = 1,343$ (dado no Problema 33-77), o mínimo de θ_{desv} para a luz azul é $233,48^\circ \approx 233,5^\circ$, que acontece para $\theta_i = 71,52^\circ$.

(d) De acordo com os resultados dos itens (b) e (c), a largura desse tipo de arco-íris é $233,5^\circ - 230,4^\circ = 3,1^\circ$.

(e) Para $k = 3$, o mínimo de θ_{desv} para a luz vermelha é $317,5^\circ$, que acontece para $\theta_i = 76,88^\circ$.

(f) Para $k = 3$, o mínimo de θ_{desv} para a luz azul é $321,9^\circ$, que acontece para $\theta_i = 76,62^\circ$.

(g) De acordo com os resultados dos itens (e) e (f), a largura desse tipo de arco-íris é $321,9^\circ - 317,5^\circ = 4,4^\circ$.

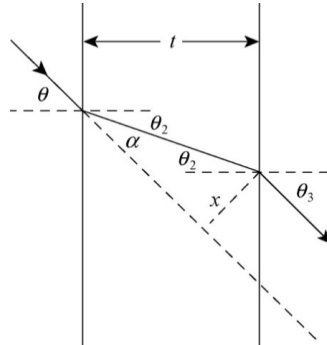
79. PENSE Para calcular o valor do deslocamento lateral, basta aplicar a lei de Snell à refração nas duas interfaces.

FORMULE Sejam θ o ângulo de incidência, θ_2 o ângulo de refração na face esquerda da placa e n o índice de refração do vidro. De acordo com a lei de Snell,

$$\sin \theta = n \sin \theta_2.$$

O ângulo de incidência na face direita da placa também é θ_2 . Se θ_3 é o ângulo de refração correspondente,

$$n \sin \theta_2 = \sin \theta_3.$$



ANALISE (a) Combinando as duas expressões anteriores, obtemos $\sin \theta_3 = \sin \theta$, o que nos dá $\theta_3 = \theta$. Assim, o raio emergente é paralelo ao raio incidente.

(b) Estamos interessados em obter uma expressão para x em função de θ . Se D é a distância percorrida pelo raio de luz no vidro, $D \cos \theta_2 = t$, em que t é a espessura do vidro, e, portanto, $D = t / \cos \theta_2$. O ângulo α da figura é igual a $\theta - \theta_2$ e

$$x = D \sin \alpha = D \sin (\theta - \theta_2).$$

Assim,

$$x = \frac{t \sin (\theta - \theta_2)}{\cos \theta_2}.$$

Se os ângulos θ , θ_2 , θ_3 e $\theta - \theta_2$ forem todos pequenos e medidos em radianos, $\sin \theta \approx \theta$, $\sin \theta_2 \approx \theta_2$, $\sin (\theta - \theta_2) \approx \theta - \theta_2$ e $\cos \theta_2 \approx 1$. Assim, $x \approx t(\theta - \theta_2)$. Aplicando a lei de Snell ao ponto de incidência, na face esquerda da placa, obtemos $\theta \approx n\theta_2$, e, portanto, $\theta_2 \approx \theta/n$ e

$$x \approx t \left(\theta - \frac{\theta}{n} \right) = \frac{(n-1)t\theta}{n}.$$

APRENDA De acordo com a equação anterior, quanto maior a espessura t da placa, maior o deslocamento lateral x . No que para $n = 1$ (ou seja, na ausência de difração), $x = 0$, como era de esperar.

80. (a) O módulo do campo magnético é

$$B = \frac{E}{c} = \frac{100 \text{ V/m}}{3,0 \times 10^8 \text{ m/s}} = 3,3 \times 10^{-7} \text{ T} = 0,33 \text{ } \mu\text{T}.$$

(b) Como $\vec{E} \times \vec{B} = \mu_0 \vec{S}$, em que $\vec{E} = E\hat{k}$ e $\vec{S} = S(-\hat{j})$, vemos que, como $\hat{k} \times (-\hat{i}) = -\hat{j}$, $\vec{B} = B(-\hat{i})$, ou seja, o sentido do campo magnético é o sentido $-x$.

81. (a) A direção de polarização é definida pelo campo elétrico, que é perpendicular ao campo magnético e à direção de propagação da onda. A função dada mostra que o campo magnético é paralelo ao eixo x (por causa do índice da amplitude B) e que a onda está se propagando no sentido negativo do eixo y (por causa do argumento da função seno). Assim, o campo elétrico é paralelo ao eixo z e a direção da polarização da luz é a direção do eixo z .

(b) Como $k = 1,57 \times 10^7/\text{m}$, $\lambda = 2\pi/k = 4,0 \times 10^{-7} \text{ m}$, o que nos dá

$$f = c/\lambda = 7,5 \times 10^{14} \text{ Hz}.$$

(c) De acordo com a Eq. 33-26, temos

$$I = \frac{E_{\text{rms}}^2}{c\mu_0} = \frac{E_m^2}{2c\mu_0} = \frac{(cB_m)^2}{2c\mu_0} = \frac{cB_m^2}{2\mu_0} = \frac{(3 \times 10^8 \text{ m/s})(4,0 \times 10^{-6} \text{ T})^2}{2(4\pi \times 10^{-7} \text{ H/m})} = 1,9 \text{ kW/m}^2.$$

82. Aplicando a Eq. 33-36 uma vez e a Eq. 33-38 duas vezes, obtemos

$$I = \frac{1}{2} I_0 \cos^2 \theta'_1 \cos^2 \theta'_2.$$

Como $\theta'_1 = 90^\circ - \theta_1 = 60^\circ$ e $\theta'_2 = 90^\circ - \theta_2 = 60^\circ$, temos

$$\frac{I}{I_0} = \frac{1}{2} \cos^4 60^\circ = \frac{(0,5)^4}{2} = 0,031.$$

83. PENSE Este problema envolve o fato de que o índice de refração de um meio depende do comprimento de onda da luz.

FORMULE O ângulo crítico para reflexão interna total é dado por $\sin \theta_c = 1/n$. Para a luz vermelha, $n = 1,456$ e o ângulo crítico é $\theta_c = 43,38^\circ$. Para a luz azul, $n = 1,470$ e o ângulo crítico é $\theta_c = 42,86^\circ$.

ANALISE (a) Como um ângulo de incidência $\theta = 42,00^\circ$ é menor que os ângulos críticos para a luz vermelha e para a luz azul, a luz refratada é branca.

(b) Como um ângulo de incidência $\theta = 43,10^\circ$ é menor que o ângulo crítico para a luz vermelha e maior que o ângulo crítico para a luz azul, a luz refratada é avermelhada.

(c) Como um ângulo de incidência $\theta = 44,00^\circ$ é maior que os ângulos críticos para a luz vermelha e para a luz azul, não há luz refratada.

APRENDA A Fig. 33-18 mostra a variação do índice de refração do quartzo fundido com o comprimento de onda da luz. Note que o índice de refração diminui quando o comprimento de luz aumenta. Como essa variação é responsável pela dispersão da luz branca em faixas coloridas ao passar pelos prismas (veja a Fig. 33-20), é chamada de *dispersão cromática*.

84. De acordo com as Eqs. 33-36 e 33-38, temos

$$\frac{I_{\text{final}}}{I_0} = \frac{(I_0/2)(\cos^2 45^\circ)^2}{I_0} = \frac{1}{8} = 0,125.$$

85. A massa da esfera é $m = \rho V$, em que ρ é a massa específica, $V = 4\pi R^3/3$ é o volume, e R é o raio da esfera. Utilizando a segunda lei de Newton, $F = ma$, e a Eq. 33-32 com $A = \pi R^2$, obtemos

$$\rho \frac{4\pi R^3}{3} a = \frac{I\pi R^2}{c},$$

o que nos dá

$$a = \frac{3I}{4\rho c R} = \frac{3(6,0 \times 10^{-3} \text{ W/m}^2)}{4(5,0 \times 10^3 \text{ kg/m}^3)(3,0 \times 10^8 \text{ m/s})(2,0 \times 10^{-6} \text{ m})} = 1,5 \times 10^{-9} \text{ m/s}^2.$$

86. Levando em conta a redução “automática” para metade do valor inicial que acontece quando um feixe de luz não polarizada passa por um polarizador, a fração da luz transmitida pelo conjunto de quatro polarizadores é

$$\frac{I}{I_0} = \frac{1}{2} [\cos^2(30^\circ)]^3 = \frac{0,75^3}{2} = 0,21.$$

87. **PENSE** Como as ondas de radar cobrem uniformemente uma superfície hemisférica, a intensidade das ondas é a mesma em qualquer ponto do hemisfério.

FORMULE A intensidade das ondas é dada por

$$I = \frac{P}{A} = \frac{P}{2\pi r^2}$$

em que $A = 2\pi r^2$ é a área do hemisfério. A potência das ondas refletidas pelo avião é igual ao produto da intensidade das ondas na posição do avião pela área da seção reta efetiva do avião: $P_r = IA_r$. A intensidade está relacionada à amplitude do campo elétrico pela Eq. 33-26:

$$I = E_{\text{rms}}^2 / c\mu_0 = E_m^2 / 2c\mu_0.$$

ANALISE (a) Substituindo os valores conhecidos, obtemos

$$I = \frac{P}{2\pi r^2} = \frac{180 \times 10^3 \text{ W}}{2\pi(90 \times 10^3 \text{ m})^2} = 3,5 \times 10^{-6} \text{ W/m}^2.$$

(b) A potência das ondas refletidas pelo avião é

$$P_r = IA_r = (3,5 \times 10^{-6} \text{ W/m}^2)(0,22 \text{ m}^2) = 7,8 \times 10^{-7} \text{ W}.$$

(c) Na posição do radar, a intensidade das ondas refletidas pelo avião é

$$I_r = \frac{P_r}{2\pi r^2} = \frac{7,8 \times 10^{-7} \text{ W}}{2\pi(90 \times 10^3 \text{ m})^2} = 1,5 \times 10^{-17} \text{ W/m}^2.$$

(d) Como $I_r = E_m^2 / 2c\mu_0$, a amplitude do campo elétrico é

$$\begin{aligned} E_m &= \sqrt{2c\mu_0 I_r} = \sqrt{2(3,0 \times 10^8 \text{ m/s})(4\pi \times 10^{-7} \text{ T} \cdot \text{m/A})(1,5 \times 10^{-17} \text{ W/m}^2)} \\ &= 1,1 \times 10^{-7} \text{ V/m}. \end{aligned}$$

(e) O valor rms do campo magnético é

$$B_{\text{rms}} = \frac{E_{\text{rms}}}{c} = \frac{E_m}{\sqrt{2}c} = \frac{1,1 \times 10^{-7} \text{ V/m}}{\sqrt{2}(3,0 \times 10^8 \text{ m/s})} = 2,5 \times 10^{-16} \text{ T}.$$

APRENDA A intensidade das ondas emitidas por uma fonte diminui com o quadrado da distância. Além disso, como é mencionado no Exemplo 33.01 “Valores rms do campo elétrico e do campo magnético de uma onda luminosa”, não podemos comparar

diretamente os valores do campo elétrico e do campo magnético porque são medidos em unidades diferentes. Entretanto, sabemos que a componente elétrica e a componente magnética estão em pé de igualdade no que diz respeito à propagação da onda, já que as energias médias, que *podem* ser comparadas, são iguais para as duas componentes.

88. (a) Fazendo $v = c$ na relação $kv = \omega = 2\pi f$, obtemos

$$f = \frac{kc}{2\pi} = \frac{(4,00 \text{ m}^{-1})(3 \times 10^8 \text{ m/s})}{2\pi} = 1,91 \times 10^8 \text{ Hz}.$$

(b) $E_{\text{rms}} = E_m/\sqrt{2} = B_m\sqrt{2}/c = (85,8 \times 10^{-9} \text{ T})(3 \times 10^8 \text{ m/s})/(1,414) = 18,2 \text{ V/m}.$

(c) $I = (E_{\text{rms}})^2/c\mu_0 = (18,2 \text{ V/m})^2/(3 \times 10^8 \text{ m/s})(4\pi \times 10^{-7} \text{ H/n}) = 0,878 \text{ W/m}^2.$

89. De acordo com a Fig. 33-18, $n_{\text{máx}} = 1,470$ para $\lambda = 400 \text{ nm}$ e $n_{\text{mín}} = 1,456$ para $\lambda = 700 \text{ nm}.$

(a) De acordo com a Eq. 33-49,

$$\theta_{\text{B,máx}} = \tan^{-1} n_{\text{máx}} = \tan^{-1} (1,470) = 55,8^\circ.$$

(b) $\theta_{\text{B,mín}} = \tan^{-1} (1,456) = 55,5^\circ.$

90. Aplicando seis vezes a lei de Snell, obtemos

$$\left(\frac{n_1}{n_{\text{ar}}}\right)\left(\frac{n_2}{n_1}\right)\left(\frac{n_3}{n_2}\right)\left(\frac{n_4}{n_3}\right)\left(\frac{n_5}{n_4}\right)\left(\frac{n_6}{n_5}\right) = \left(\frac{\sin \theta_i}{\sin \theta_1}\right)\left(\frac{\sin \theta_1}{\sin \theta_2}\right)\left(\frac{\sin \theta_2}{\sin \theta_3}\right)\left(\frac{\sin \theta_3}{\sin \theta_4}\right)\left(\frac{\sin \theta_4}{\sin \theta_5}\right)\left(\frac{\sin \theta_5}{\sin \theta_f}\right).$$

Cancelando os fatores que aparecem no numerador e no denominador, obtemos

$$1 = \frac{\sin \theta_i}{\sin \theta_f} \Rightarrow \sin \theta_f = \sin \theta_i,$$

um resultado que não depende do ângulo de incidência, do índice de refração das placas, da largura das placas e do número de placas. Assim,

(a) $\theta_f = 0^\circ.$

(b) $\theta_f = 20^\circ.$

(c) Uma vez que este caso equivale a acrescentar uma placa ao conjunto, o resultado permanece o mesmo: $\theta_f = 0.$

(d) $\theta_f = 20^\circ.$

91. (a) A 40 m de distância do feixe, a intensidade é

$$I = \frac{P}{\pi d^2/4} = \frac{P}{\pi(\theta r)^2/4} = \frac{4(3,0 \times 10^{-3} \text{ W})}{\pi[(0,17 \times 10^{-3} \text{ rad})(40 \text{ m})]^2} = 83 \text{ W/m}^2.$$

(b) De acordo com a Eq. 33-27,

$$P' = 4\pi r^2 I = 4\pi(40 \text{ m})^2(83 \text{ W/m}^2) = 1,7 \times 10^6 \text{ W} = 1,7 \text{ MW}.$$

92. De acordo com a lei de Snell,

$$\sin \theta_1/\sin \theta_2 = n_{\text{água}} = \text{constante}.$$

É fácil verificar que todos os pares de valores fornecem o mesmo resultado até a primeira casa decimal. Por exemplo: $\sin 10^\circ/\sin 8^\circ = 0,174/0,139 = 1,3$ e $\sin 40^\circ/\sin 29^\circ = 0,643/0,485 = 1,3$. Assim, o índice de refração da água é $n_{\text{água}} = 1,3$.

93. De acordo com a Eq. 33-36, quando a luz não polarizada passa pelo primeiro polarizador, a intensidade é reduzida à metade. Como $1/3 = (1/2)(2/3)$, para que a intensidade final seja um terço da intensidade inicial, o segundo polarizador deve produzir uma redução de $2/3$. Assim,

$$\cos^2 \theta = 2/3 \Rightarrow \theta = 35^\circ.$$

94. (a) O módulo do campo elétrico no ponto P é

$$E = \frac{V}{l} = \frac{iR}{l} = (25,0 \text{ A}) \left(\frac{1,00 \Omega}{300 \text{ m}} \right) = 0,0833 \text{ V/m}.$$

O campo elétrico no ponto P aponta no mesmo sentido que a corrente, ou seja, no sentido do semieixo x positivo.

(b) De acordo com a Eq. 29-4, o módulo do campo magnético no ponto P é

$$B = \frac{\mu_0 i}{2\pi r} = \frac{(4\pi \times 10^{-7} \text{ T} \cdot \text{m/A})(25,0 \text{ A})}{2\pi (1,25 \times 10^{-3} \text{ m})} = 4,00 \times 10^{-3} \text{ T}.$$

O campo magnético no ponto P aponta no sentido do semieixo z positivo (para fora do papel).

(c) De acordo com a Eq. 33-31, o módulo do vetor de Poynting é

$$S = \frac{EB}{\mu_0} = \frac{(0,0833 \text{ V/m})(4,0 \times 10^{-3} \text{ T})}{2(4\pi \times 10^{-7} \text{ T} \cdot \text{m/A})} = 265 \text{ W/m}^2.$$

(d) Como \vec{S} aponta na direção de $\vec{E} \times \vec{B}$, é fácil constatar, usando a regra da mão direita, que o vetor de Poynting no ponto P aponta no sentido do semieixo y negativo.

95. (a) No caso do resistor cilíndrico da Fig. 33-74, o campo magnético aponta na direção $-\hat{\theta}$, ou seja, no sentido horário. Supondo que o eixo z coincide com o resistor e aponta para cima, tanto a corrente como o campo elétrico apontam no sentido do semieixo z negativo. Como $\vec{S} = \vec{E} \times \vec{B} / \mu_0$, \vec{S} aponta na direção de $(-\hat{z}) \times (-\hat{\theta}) = (-\hat{r})$, ou seja, radialmente para dentro do resistor.

(b) Como os módulos do campo elétrico e do campo magnético são $E = V/l = iR/l$ e $B = \mu_0 i / 2\pi a$, respectivamente,

$$S = \frac{EB}{\mu_0} = \frac{1}{\mu_0} \left(\frac{iR}{l} \right) \left(\frac{\mu_0 i}{2\pi a} \right) = \frac{i^2 R}{2\pi a l}.$$

Como o módulo do vetor de Poynting é constante,

$$\int \vec{S} \cdot d\vec{A} = SA = \left(\frac{i^2 R}{2\pi a l} \right) (2\pi a l) = i^2 R.$$

96. Como a intensidade do campo elétrico está relacionada à amplitude do campo pela equação $I = E_m^2 / 2\mu_0 c$, a potência absorvida pela placa é $P_{\text{abs}} = IA = E_m^2 A / 2\mu_0 c$. Se toda essa energia for usada para aquecer a placa (ou seja, se toda a energia for convertida em energia interna da placa),

$$P_{\text{abs}} = \frac{dE_{\text{int}}}{dt} = mc_s \frac{dT}{dt},$$

em que c_s é o calor específico do material da placa. Explicitando dT/dt , obtemos

$$mc_s \frac{dT}{dt} = \frac{E_m^2 A}{2\mu_0 c} \Rightarrow \frac{dT}{dt} = \frac{E_m^2 A}{2mc_s \mu_0 c}.$$

97. Seja I_0 a intensidade da luz não polarizada que incide na primeira placa. De acordo com a regra da metade, a intensidade da luz transmitida é $I_1 = I_0/2$. No caso da segunda placa, devemos aplicar a regra do cosseno ao quadrado:

$$I_2 = I_1 \cos^2 \theta = \frac{1}{2} I_0 \cos^2 \theta \Rightarrow \frac{I_2}{I_0} = \frac{1}{2} \cos^2 \theta$$

em que θ é o ângulo entre as direções de polarização das duas placas. De acordo com o enunciado do problema, $I_2/I_0 = p/100$. Igualando as duas expressões de I_2/I_0 e explicitando θ , obtemos

$$\frac{I_2}{I_0} = \frac{p}{100} = \frac{1}{2} \cos^2 \theta \Rightarrow \theta = \cos^{-1} \left(\sqrt{\frac{p}{50}} \right).$$

98. A área da seção reta do feixe, paralela à superfície, é $A \cos \theta$. Em um intervalo de tempo Δt , o volume do feixe refletido pela superfície é $\Delta V = (A \cos \theta) c \Delta t$ e o momento associado a esse volume é $p = (I/c^2)(A \cos \theta) c \Delta t$, em que I é a intensidade do feixe. Quando o feixe é refletido, a variação do momento é

$$\Delta p = 2 p \cos \theta = 2 I A \cos^2 \theta \Delta t / c$$

e a pressão da radiação é

$$p_r = \frac{F_r}{A} = \frac{\Delta p}{A \Delta t} = \frac{2I}{c} \cos^2 \theta = p_{r\perp} \cos^2 \theta$$

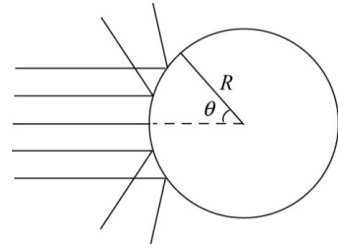
em que $p_{r\perp} = 2I/c$ é a pressão da radiação para $\theta = 0$. $dF_x = 2dF \cos \theta = 2(p_r dA) \cos \theta$.

99. Vamos considerar a figura ao lado. A componente y da força é zero por simetria, e a componente x da força que incide em um elemento de área dA da placa é dada por

$$dF_x = 2dF \cos \theta = 2(p_r dA) \cos \theta.$$

Utilizando o resultado do Problema 98, $p_r = (2I/c) \cos^2 \theta$, e a relação $dA = RL d\theta$, em que L é o comprimento do cilindro, obtemos

$$\frac{F_x}{L} = \int 2(2I \cos \theta / c) \cos \theta R d\theta = \frac{4IR}{c} \int_0^{\pi/2} \cos^3 \theta d\theta = \frac{8IR}{3c}.$$



100. Aplicando a Eq. 33-36 (uma vez) e Eq. 33-38 (duas vezes), obtemos

$$I = \frac{1}{2} I_0 \cos^2 \theta'_1 \cos^2 \theta'_2$$

em que $\theta'_1 = (90^\circ - \theta_1) + \theta_2 = 110^\circ$ é o ângulo entre as direções de polarização dos dois primeiros filtros polarizadores, e $\theta'_2 = 90^\circ - \theta_2 = 50^\circ$ é o ângulo entre as direções de polarização do segundo e terceiro filtros polarizadores. Isso nos dá $I/I_0 = 0,024$.

101. Aplicando a Eq. 33-36 (uma vez) e a Eq. 33-38 (duas vezes), obtemos

$$I = \frac{1}{2} I_0 \cos^2 \theta' \cos^2 \theta''.$$

Para $\theta' = \theta_2 - \theta_1 = 60^\circ - 20^\circ = 40^\circ$ e $\theta'' = \theta_3 + (\pi/2 - \theta_2) = 40^\circ + 90^\circ - 60^\circ = 70^\circ$, obtemos

$$I/I_0 = 0,034.$$

102. Podemos calcular a força usando a Eq. 33-33, em que A é a área da superfície refletora ($4,0 \text{ m}^2$) e I é a intensidade, dada pela Eq. 33-27 com $P_s = 3,90 \times 10^{26}$ (veja o Apêndice C) e $r = 3,0 \times 10^{11} \text{ m}$. O resultado é $F = 9,2 \mu\text{N}$.

103. De acordo com a Eq. 33-25, a amplitude do campo elétrico é $E_m = E_{\text{rms}} \sqrt{2}$. De acordo com a Eq. 33-5, $B_m = E_m/c$. Combinando as duas equações, obtemos

$$B_m = \frac{E_{\text{rms}} \sqrt{2}}{c} = \frac{(0,200 \text{ V/m})(1,41)}{2,99 \times 10^8 \text{ m/s}} = 9,43 \times 10^{-10} \text{ T}.$$

104. (a) O Sol está suficientemente distante da Terra para que os raios solares sejam considerados paralelos na Fig. 33-77. Em outras palavras, se um raio solar faz um ângulo θ com a horizontal quando o pássaro está em uma posição, outro raio faz o mesmo

ângulo com a horizontal quando o pássaro está em outra posição. Assim, a sombra do albatroz no solo se move à mesma velocidade que o pássaro: 15 m/s.

(b) Se o albatroz está em uma posição, a uma distância $x > 0$ da parede, tal que a sombra na parede está a uma distância $0 \leq y \leq h$ do alto da parede, é fácil demonstrar geometricamente, a partir da Fig. 33-77, que $\tan \theta = y/x$. Assim,

$$\frac{dy}{dt} = \frac{dx}{dt} \tan \theta = (-15 \text{ m/s}) \tan 30^\circ = -8,7 \text{ m/s},$$

o que significa que a distância y (medida como uma distância positiva para baixo a partir do alto da parede) está diminuindo à taxa de 8,7 m/s.

(c) Como $\tan \theta$ aumenta quando θ aumenta a partir de 0° , um valor maior de $|dy/dt|$ está associado a um valor maior de θ . Isso significa que o Sol está mais alto no céu durante o voo do gavião do que durante o voo do albatroz.

(d) Para $|dy/dt| = 45 \text{ m/s}$, temos

$$v_{\text{gavião}} = \frac{dx}{dt} = \frac{|dy/dt|}{\tan \theta}$$

e, portanto,

$$\theta = \tan^{-1} \frac{|dy/dt|}{|dx/dt|} = \tan^{-1} \frac{45 \text{ m/s}}{15 \text{ m/s}} = 72^\circ.$$

105. (a) A onda está se propagando no sentido do semieixo y negativo (veja o Módulo 16-1 para uma discussão da relação entre o sinal que precede a parte temporal da função de onda e o sentido de propagação da onda).

(b) A Fig. 33-5 pode ajudar a visualizar a situação. A direção de propagação (ao longo do eixo y) é perpendicular a \vec{B} (que aponta na direção do eixo x , já que a única componente do campo magnético é B_x), e o campo \vec{E} é perpendicular às duas direções. Isso significa que a onda está polarizada na direção do eixo z .

(c) Como a amplitude do campo magnético é $B_m = 4,00 \mu\text{T}$, a Eq. 33-5 nos dá $E_m = B_m c = 1196 \text{ V/m} \approx 1,20 \times 10^3 \text{ V/m}$. Dividindo por $\sqrt{2}$, obtemos $E_{\text{rms}} = 848 \text{ V/m}$. Assim, a Eq. 33-26 nos dá

$$I = \frac{I}{c\mu_0} E_{\text{rms}}^2 = 1,91 \times 10^3 \text{ W/m}^2.$$

(d) Como $kc = \omega$, temos

$$k = \frac{2,00 \times 10^{15}}{c} = 6,67 \times 10^6 \text{ m}^{-1}.$$

Combinando as informações colhidas anteriormente, obtemos

$$E_z = (1,2 \times 10^3 \text{ V/m}) \sin[(6,67 \times 10^6 / \text{m})y + (2,00 \times 10^{15} / \text{s})t].$$

(e) $\lambda = 2\pi/k = 942 \text{ nm}$.

(f) A onda está na região do infravermelho.

106. (a) Como o ângulo de incidência $\theta_{B,1}$ no ponto B é o complemento do ângulo de incidência no ponto A , que, por sua vez, é o ângulo crítico, temos

$$\sin \theta_{B,1} = \cos \theta_c = \sqrt{1 - \left(\frac{n_3}{n_2}\right)^2},$$

e, portanto, o ângulo de refração $\theta_{B,2}$ no ponto B é

$$\theta_{B,2} = \sin^{-1} \left(\frac{n_2}{n_3} \sqrt{1 - \left(\frac{n_3}{n_2}\right)^2} \right) = \sin^{-1} \left(\sqrt{\left(\frac{n_2}{n_3}\right)^2 - 1} \right) = 35,1^\circ.$$

(b) Como $n_1 \sin \theta = n_2 \sin \theta_c = n_2(n_3/n_2)$, temos

$$\theta = \sin^{-1} \left(\frac{n_3}{n_1} \right) = 49,9^\circ.$$

(c) Como o ângulo de incidência $\theta_{A,1}$ no ponto A é o complemento do ângulo de incidência no ponto B , que, por sua vez, é o ângulo crítico, temos

$$\sin \theta_{A,1} = \cos \theta_c = \sqrt{1 - \left(\frac{n_3}{n_2} \right)^2}.$$

e, portanto, o ângulo de refração $\theta_{A,2}$ no ponto A é

$$\theta_{A,2} = \sin^{-1} \left(\frac{n_2}{n_3} \sqrt{1 - \left(\frac{n_3}{n_2} \right)^2} \right) = \sin^{-1} \sqrt{\left(\frac{n_2}{n_3} \right)^2 - 1} = 35,1^\circ.$$

(d) Como

$$n_1 \sin \theta = n_2 \sin \theta_{A,1} = n_2 \sqrt{1 - \left(\frac{n_3}{n_2} \right)^2} = \sqrt{n_2^2 - n_3^2},$$

temos

$$\theta = \sin^{-1} \left(\frac{\sqrt{n_2^2 - n_3^2}}{n_1} \right) = 26,1^\circ.$$

(e) Como o ângulo de incidência $\theta_{B,1}$ no ponto B é o complemento do ângulo de incidência no ponto A , que, por sua vez, é o ângulo de Brewster, temos

$$\sin \theta_{B,1} = \frac{n_2}{\sqrt{n_2^2 + n_3^2}}$$

e, portanto, o ângulo de refração $\theta_{B,2}$ no ponto B é

$$\theta_{B,2} = \sin^{-1} \left(\frac{\frac{n_2^2}{\sqrt{n_2^2 + n_3^2}}}{n_3 \sqrt{n_2^2 + n_3^2}} \right) = 60,7^\circ.$$

(f) Como

$$n_1 \sin \theta = n_2 \sin \theta_{\text{Brewster}} = n_2 \frac{n_3}{\sqrt{n_2^2 + n_3^2}},$$

temos

$$\theta = \sin^{-1} \left(\frac{n_2 n_3}{n_1 \sqrt{n_2^2 + n_3^2}} \right) = 35,3^\circ.$$

107. (a) e (b) Quando um raio luminoso incide em uma interface com o ângulo de Brewster, $\theta_{\text{incidente}} + \theta_{\text{refratado}} = \theta_B + 32,0^\circ = 90,0^\circ$ e, portanto, $\theta_B = 58,0^\circ$ e

$$n_{\text{vidro}} = \tan \theta_B = \tan 58,0^\circ = 1,60.$$

108. Derivando ambos os membros da Eq. 33-11 em relação a x , obtemos

$$\frac{\partial}{\partial x} \left(\frac{\partial E}{\partial x} \right) = \frac{\partial^2 E}{\partial x^2} = \frac{\partial}{\partial x} \left(-\frac{\partial B}{\partial t} \right) = -\frac{\partial^2 B}{\partial x \partial t}.$$

Derivando ambos os membros da Eq. 33-17 em relação a t , obtemos

$$\frac{\partial}{\partial t} \left(-\frac{\partial B}{\partial x} \right) = -\frac{\partial^2 B}{\partial x \partial t} = \frac{\partial}{\partial t} \left(\epsilon_0 \mu_0 \frac{\partial E}{\partial t} \right) = \epsilon_0 \mu_0 \frac{\partial^2 E}{\partial t^2}.$$

Como, de acordo com a primeira equação, $-\partial^2 B / \partial x \partial t = \partial^2 E / \partial x^2$, a segunda equação nos dá

$$\epsilon_0 \mu_0 \frac{\partial^2 E}{\partial t^2} = \frac{\partial^2 E}{\partial x^2} \quad \Rightarrow \quad \frac{\partial^2 E}{\partial t^2} = \frac{1}{\epsilon_0 \mu_0} \frac{\partial^2 E}{\partial x^2} = c^2 \frac{\partial^2 E}{\partial x^2}.$$

Derivando ambos os membros da Eq. 33-11 em relação a t , obtemos

$$\frac{\partial^2 E}{\partial x \partial t} = -\frac{\partial^2 B}{\partial t^2}.$$

Derivando ambos os membros da Eq. 33-17 em relação a x , obtemos

$$-\frac{\partial^2 B}{\partial x^2} = \epsilon_0 \mu_0 -\frac{\partial^2 E}{\partial x \partial t}.$$

Combinando as duas equações, obtemos

$$\frac{\partial^2 B}{\partial t^2} = \frac{1}{\epsilon_0 \mu_0} \frac{\partial^2 B}{\partial x^2} = c^2 \frac{\partial^2 B}{\partial x^2}.$$

109. (a) De acordo com a Eq. 33-1,

$$\frac{\partial^2 E}{\partial t^2} = \frac{\partial^2}{\partial t^2} E_m \sin(kx - \omega t) = -\omega^2 E_m \sin(kx - \omega t),$$

e

$$c^2 \frac{\partial^2 E}{\partial x^2} = c^2 \frac{\partial^2}{\partial x^2} E_m \sin(kx - \omega t) = -k^2 c^2 \sin(kx - \omega t) = -\omega^2 E_m \sin(kx - \omega t).$$

Isso significa que a equação

$$\frac{\partial^2 E}{\partial t^2} = c^2 \frac{\partial^2 E}{\partial x^2}$$

é satisfeita.

Procedendo de maneira análoga, é fácil mostrar que a Eq. 33-2 satisfaz à equação

$$\frac{\partial^2 B}{\partial t^2} = c^2 \frac{\partial^2 B}{\partial x^2}.$$

(b) Se $E = E_m f(kx \pm \omega t)$,

$$\frac{\partial^2 E}{\partial t^2} = E_m \frac{\partial^2 f(kx \pm \omega t)}{\partial t^2} = \omega^2 E_m \frac{d^2 f}{du^2} \bigg|_{u=kx \pm \omega t}$$

e

$$c^2 \frac{\partial^2 E}{\partial x^2} = c^2 E_m \frac{\partial^2 f(kx \pm \omega t)}{\partial t^2} = c^2 E_m k^2 \frac{d^2 f}{du^2} \Big|_{u=kx \pm \omega t}$$

Como $\omega = ck$, os membros do lado direito das duas equações são iguais e, portanto, os membros do lado esquerdo também são iguais, o que nos dá

$$\frac{\partial^2 E}{\partial t^2} = c^2 \frac{\partial^2 E}{\partial x^2}.$$

Procedendo de maneira análoga, é fácil mostrar que a função $B = B_m f(kx \pm \omega t)$ satisfaz a equação

$$\frac{\partial^2 B}{\partial t^2} = c^2 \frac{\partial^2 B}{\partial x^2}.$$

110. Como a intensidade é igual à potência dividida pela área (e a área, neste caso, é esférica e isotrópica), a intensidade a uma distância $r = 20$ m da fonte é

$$I = \frac{P}{4\pi r^2} = 0,040 \text{ W/m}^2,$$

como mostra o Exemplo 33.01 “Valores rms do campo elétrico e do campo magnético de uma onda luminosa”. Na Eq. 33-32 para uma área A totalmente absorvente, note que a área exposta de uma pequena esfera é a de um círculo plano de área $A = \pi(0,020 \text{ m})^2 = 0,0013 \text{ m}^2$. Assim,

$$F = \frac{IA}{c} = \frac{(0,040)(0,0013)}{3 \times 10^8} = 1,7 \times 10^{-13} \text{ N}.$$